

离散傅里叶变换和快速傅里叶变换

为什么用离散傅里叶变换

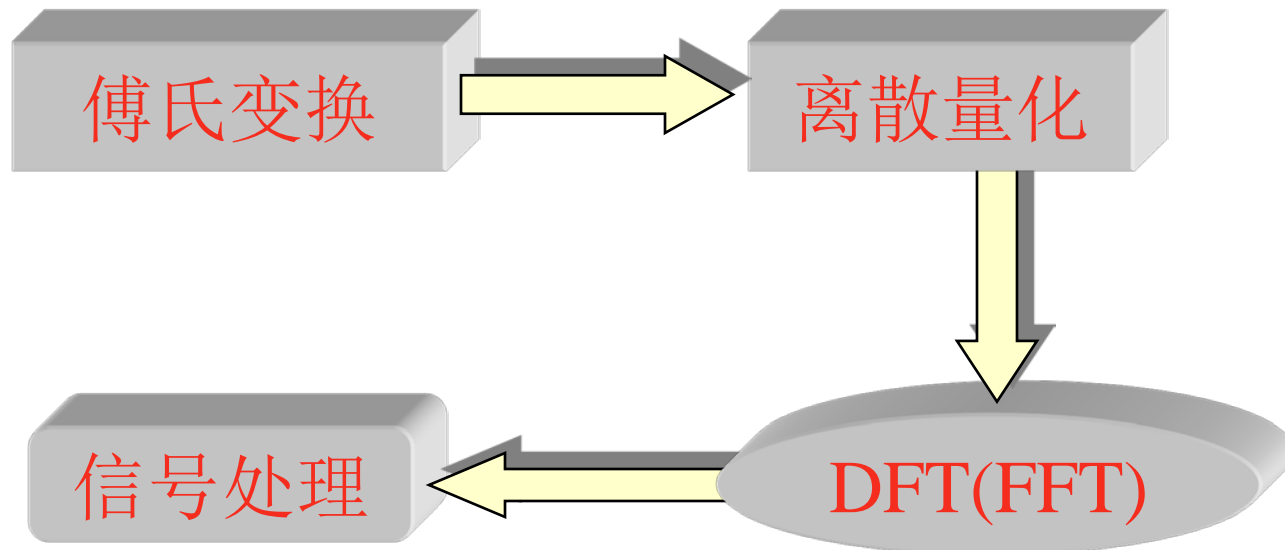
- 实际的信号是离散的
- 分析有限长序列的有用工具;
- 在信号处理的理论上具有重要意义;
- 在运算方法上起核心作用
 - 谱分析、卷积等

为什么研究连续傅里叶变换

- 连续傅里叶变换-----离散傅里叶变换
 - 采样
 - 可以有理论保证
- 离散傅里叶变换-----连续傅里叶变换
 - 预测
 - 没有保证

DFT, FFT

- 离散与量化：离散傅里叶变换
- 快速运算：快速傅里叶变换



离散时间信号

- 对模拟信号 $f(t)$ 进行等间隔采样，采样间隔为 T ；

$$x_j = f(jT), -\infty < j < \infty$$

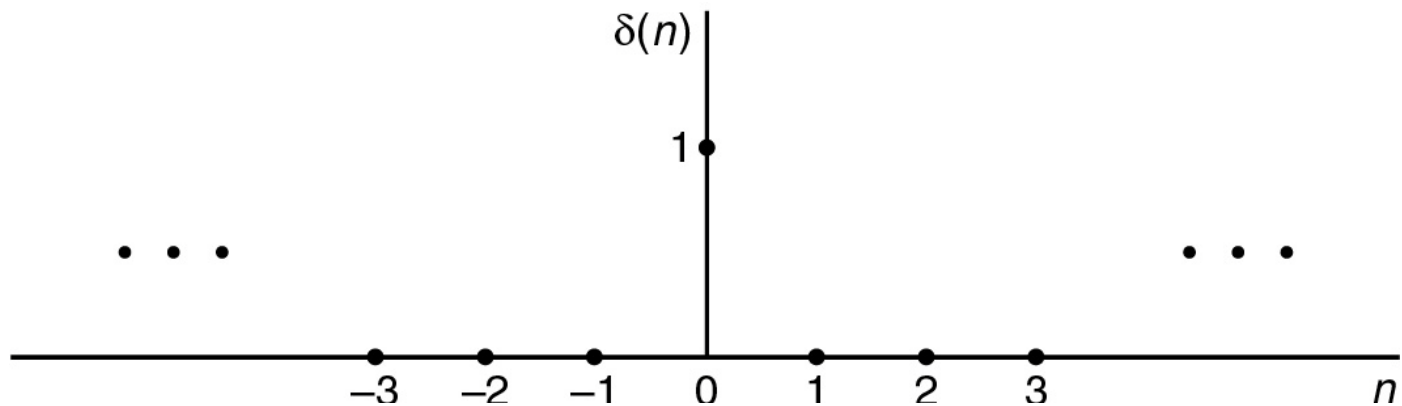
- 周期信号：

$$x_j = x_{j+n}, \exists n$$

- 公式表示、图形表示、集合符号表示

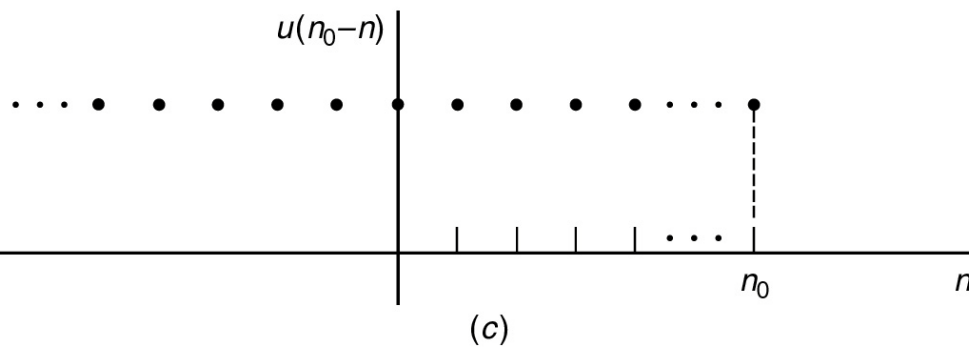
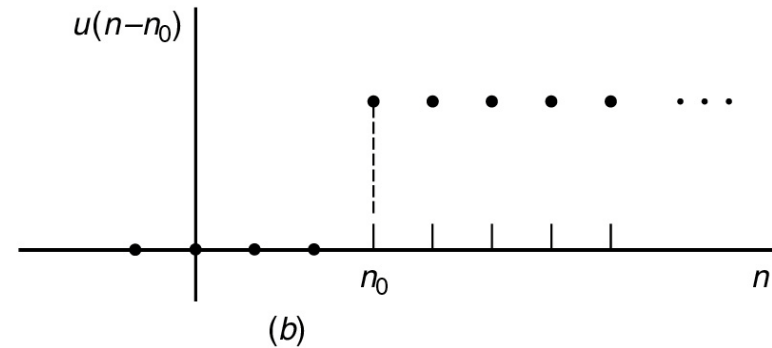
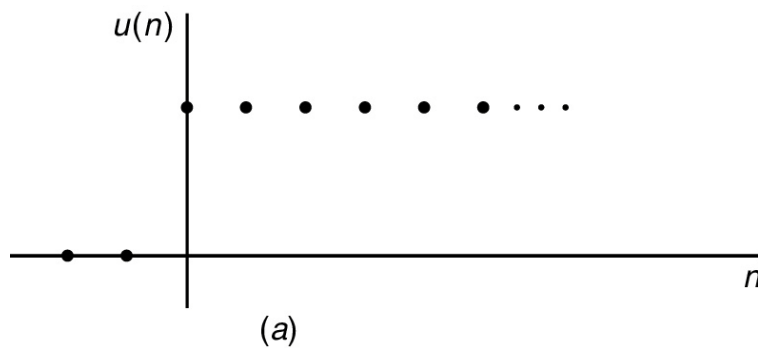
单位脉冲序列

$$\delta(j) = \begin{cases} 1, & j = 0 \\ 0, & j \neq 0 \end{cases}$$



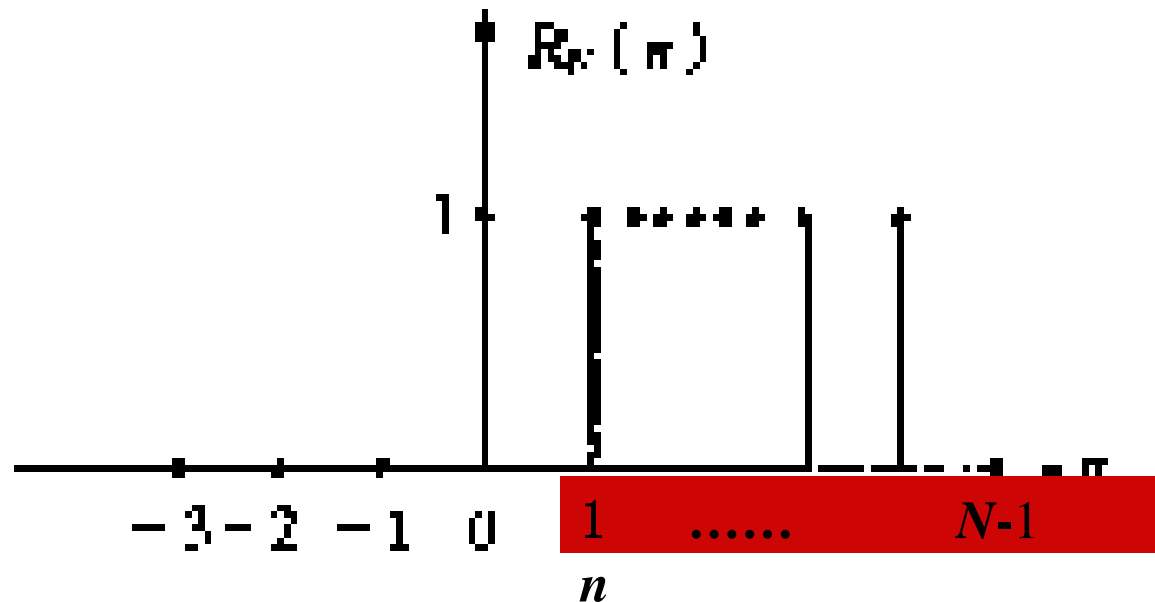
单位阶跃序列

$$u(j) = \begin{cases} 1, & j \geq 0 \\ 0, & j < 0 \end{cases}$$



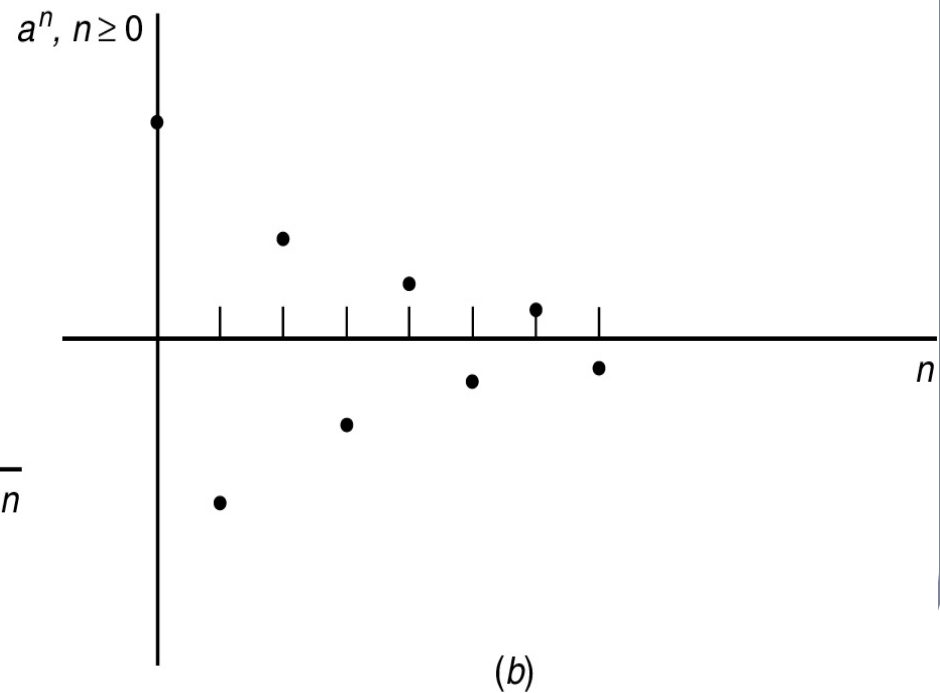
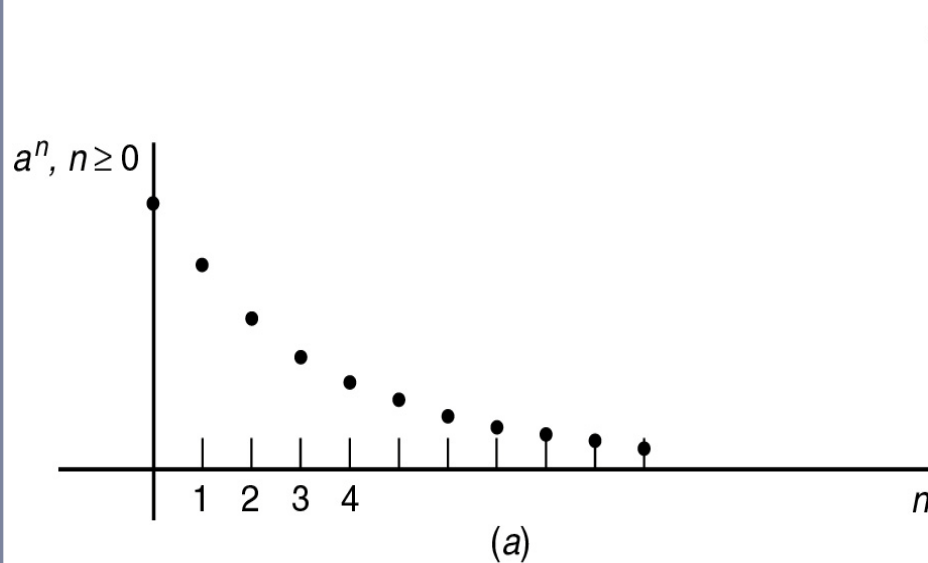
矩形序列

$$R_N(j) = \begin{cases} 1, & 0 \leq j \leq N-1 \\ 0, & j < 0, j \geq N \end{cases}$$



实指数序列

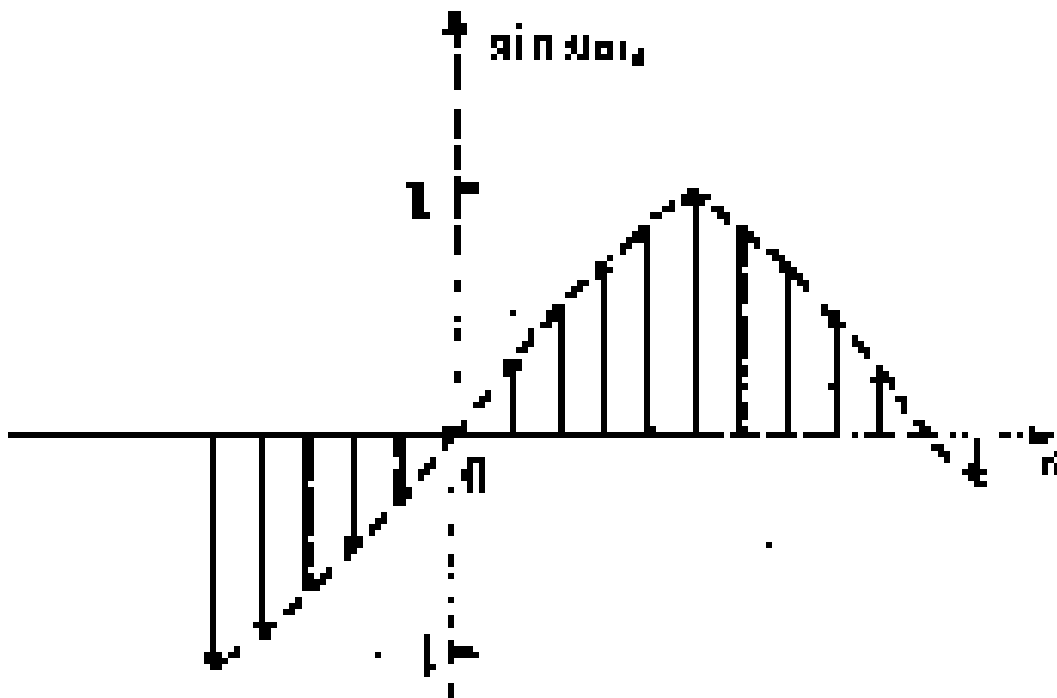
$$x(n) = a^n u(n)$$



正弦序列

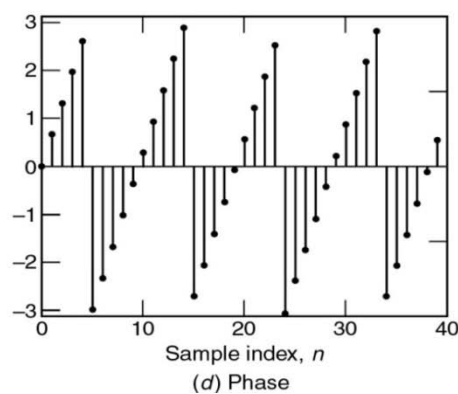
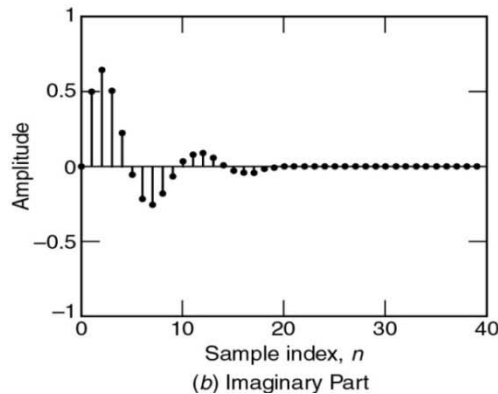
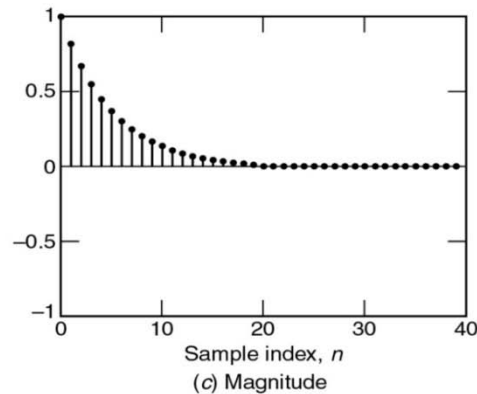
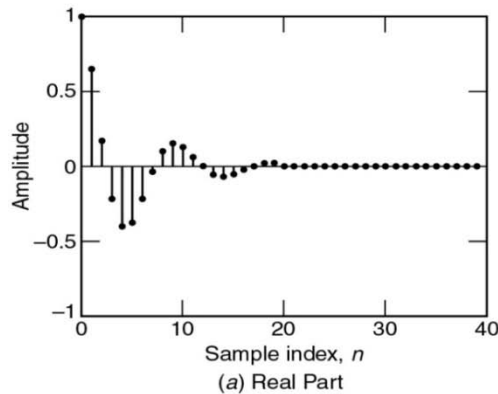


$$x(j) = \sin(j\lambda_0)$$



复指数序列

$$x(j) = Ae^{(\alpha + i\lambda_0)j} = Ae^{\alpha n} (\cos \lambda_0 j + i \sin \lambda_0 j)$$



系列的运算

- 序列的相加: $z(j)=x(j)+y(j)$
- 序列的相乘: $f(j)=x(j)*y(j)$
- 序列的移位: $y(j)=x(j-j_0)$
- 序列的能量: $S = \sum_{j=-\infty}^{\infty} |x(j)|^2$
- 能量有限: $\sum_{j=-\infty}^{\infty} |x(j)|^2 < \infty$
- 序列的单位脉冲序列表示:

$$x(j) = \sum_{k=-\infty}^{\infty} x(k)\delta(j-k)$$

周期系列的DFT

- 周期为n的系列: $y = \{y_j\}_{-\infty}^{\infty}, y_j = y_{j+n}$
- DFT:

$$F_n(y) = \bar{y} = \{\bar{y}_j\}$$

$$\bar{y}_j = \sum_{k=0}^{n-1} y_k \omega^{-jk}, \omega = e^{\frac{2\pi i}{n}}$$

- IDFT:

$$y_j = \frac{1}{n} \sum_{k=0}^{n-1} \bar{y}_k \omega^{jk},$$

性质

(1) \mathcal{F}_n 是从 \mathcal{S}_n 到 \mathcal{S}_n 的线性算子.

(2) 假设 $y = \{y_k\} \in \mathcal{S}_n$, 其 DFT 为 $\mathcal{F}_n\{y\} = \hat{y}$. 则 $y = \mathcal{F}_n^{-1}\{\hat{y}\}$ 由下式给出

$$y_j = \frac{1}{n} \sum_{k=0}^{n-1} \hat{y}_k w^{jk}.$$

DFT 的矩阵表示

$$\mathcal{F}_n\{y\} = \hat{y} = (\bar{F}_n)(y)$$

其中 $y = (y_0, \dots, y_{n-1})^T$, $\hat{y} = (\hat{y}_0, \dots, \hat{y}_{n-1})^T$,

$$F_n = \begin{pmatrix} 1 & 1 & 1 & \dots & 1 \\ 1 & w & w^2 & \dots & w^{n-1} \\ 1 & w^2 & w^4 & \dots & w^{2(n-1)} \\ \dots & \dots & \dots & \dots & \dots \\ 1 & w^{n-1} & w^{2(n-1)} & \dots & w^{(n-1)^2} \end{pmatrix}.$$

只需证明

$$\frac{1}{n} F_n \overline{F_n} = I_n,$$

即矩阵 $\frac{F_n}{\sqrt{n}}$ 是酉矩阵. 进而需要证明

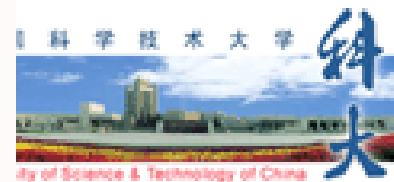
$$\frac{1}{n} \sum_{k=0}^{n-1} w^{lk} \overline{w}^{kj} = \begin{cases} 1 & \text{if } j = l \\ 0 & \text{otherwise.} \end{cases}$$

当 $j \neq l$, $0 \leq j, k \leq n-1$ 时, 有 $w^{l-j} \neq 1$. 于是

$$\begin{aligned} \frac{1}{n} \sum_{k=0}^{n-1} w^{lk} \overline{w}^{kj} &= \frac{1}{n} \sum_{k=0}^{n-1} w^{k(l-j)} \\ &= \frac{1}{n} \frac{1 - w^{(l-j)n}}{1 - w^{l-j}} \\ &= 0. \end{aligned}$$

当 $j = l$ 时, 由 $w^{l-j} = 1$ 可得

$$\frac{1}{n} \sum_{k=0}^{n-1} w^{lk} \overline{w}^{kj} = \frac{1}{n} \cdot n = 1.$$



(3) 假设 $y = \{y_k\} \in \mathcal{S}_n$ 且 $z = \{z_k\}$ 满足 $z_k = y_{-k}$, 则

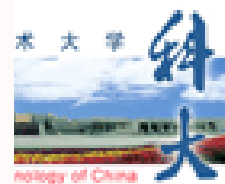
$$(\mathcal{F}_n\{z\})_j = (\mathcal{F}_n\{y\})_{-j}.$$

(4) 假设 $y = \{y_k\} \in \mathcal{S}_n$ 且 $z = \{z_k\}$ 满足 $z_k = \overline{y_k}$, 则

$$(\mathcal{F}_n\{z\})_j = \overline{(\mathcal{F}_n\{y\})_{-j}}.$$

推论

- $y \in \mathcal{S}_n$ 是偶序列 (奇序列) $\Leftrightarrow \mathcal{F}_n\{y\}$ 是偶序列 (奇序列).
- $y \in \mathcal{S}_n$ 是实序列 $\Leftrightarrow (\mathcal{F}_n\{y\})_j = \overline{(\mathcal{F}_n\{y\})_{-j}}.$
- $y \in \mathcal{S}_n$ 是实的偶序列 $\Leftrightarrow \mathcal{F}_n\{y\}$ 是实的偶序列.
- $y \in \mathcal{S}_n$ 是实的奇序列 $\Leftrightarrow \mathcal{F}_n\{y\}$ 是纯虚的奇序列.



(5) 假设 $y = \{y_k\} \in \mathcal{S}_n$, $p \in \mathbb{Z}$, 且 $z = \{z_k\}$ 满足 $z_k = y_{k+p}$, 则

$$(\mathcal{F}_n\{z\})_j = w^{pj}(\mathcal{F}_n\{y\})_j.$$

(6) 假设 $y = \{y_k\} \in \mathcal{S}_n$, $p \in \mathbb{Z}$, 且 $z = \{z_k\}$ 满足 $z_k = w^{-pk}y_k$, 则

$$(\mathcal{F}_n\{z\})_j = (\mathcal{F}_n\{y\})_{j+p}.$$

周期离散卷积 假设 $y, z \in \mathcal{S}_n$, 则 y 和 z 的卷积 $y * z \in \mathcal{S}_n$ 定义为

$$(y * z)_k = \sum_{j=0}^{n-1} y_j z_{k-j} = \sum_{j=0}^{n-1} y_{k-j} z_j.$$

卷积定理 假设 $y, z \in \mathcal{S}_n$, 则

$$\mathcal{F}_n\{y * z\} = \mathcal{F}_n\{y\} \mathcal{F}_n\{z\},$$

$$\mathcal{F}_n\{yz\} = \frac{1}{n} \mathcal{F}_n\{y\} * \mathcal{F}_n\{z\}.$$

(8) 假设 $y \in \mathcal{S}_n$, 则 $n \sum_{k=0}^{n-1} |y_k|^2 = \sum_{j=0}^{n-1} |(\mathcal{F}_n\{y\})_j|^2.$

快速傅里叶变换 (FFT)

虽然频谱分析和DFT运算很重要，但在很长一段时间里，由于DFT运算复杂，并没有得到真正的运用，而频谱分析仍大多采用模拟信号滤波的方法解决，直到1965年首次提出DFT运算的一种快速算法以后，情况才发生了根本变化，人们开始认识到DFT运算的一些内在规律，从而很快地发展和完善了一套高速有效的运算方法——快速付里变换(FFT)算法。FFT的出现，使DFT的运算大大简化，运算时间缩短一~二个数量级，使DFT的运算在实际中得到广泛应用。

周期系列的DFT

- 周期为n的系列: $y = \{y_j\}_{-\infty}^{\infty}, y_j = y_{j+n}$
- DFT:

$$F_n(y) = \bar{y} = \{\bar{y}_j\}$$

$$\bar{y}_j = \sum_{k=0}^{n-1} y_k \omega^{-jk}, \omega = e^{\frac{2\pi i}{n}}$$

- IDFT:

$$y_j = \frac{1}{n} \sum_{k=0}^{n-1} \bar{y}_k \omega^{jk},$$

直接计算量

- $4n^2$ 实数相乘和 $n(4n-2)$ 次实数相加;
- 计算 $n=10$ 点的 DFT, 需要 100 次复数相乘, 而 $n=1024$ 点时, 需要 1048576 (一百多万) 次复数乘法
- 反变换 IDFT 与 DFT 的运算结构相同, 只是多乘一个常数 $1/n$, 所以二者的计算量相同。

基本思想

- 系数 $\omega_n^{jk} = e^{-i\frac{2\pi}{n}jk}$ 是一个周期函数
- 长度为n点的大点数的DFT运算依次分解为若干个小点数的DFT。因为DFT的计算量正比于 n^2 ，n小，计算量也就小。

$n=2^m$, m : 正整数

首先将序列 $x(j)$ 分解为两组, 一组为偶数项, 一组为奇数项,

$$\begin{cases} x(2r) = x_1(r) \\ x(2r+1) = x_2(r) \end{cases} \quad r=0,1, \dots, n/2-1$$

$$\begin{aligned}
 X(k) = F_n(x) &= \sum_{j=0}^{n-1} x(j) \overline{\omega_n}^{jk} = \sum_{r=0}^{n/2-1} x(2r) \overline{\omega_n}^{2rk} + \sum_{r=0}^{n/2-1} x(2r+1) \overline{\omega_n}^{(2r+1)k} \\
 &= \sum_{r=0}^{n/2-1} x(2r) \overline{\omega_n}^{2rk} + \overline{\omega_n}^k \sum_{r=0}^{n/2-1} x(2r+1) \overline{\omega_n}^{2rk}
 \end{aligned}$$

$$\overline{\omega_n}^{2j} = e^{-i \frac{2\pi}{n} 2j} = e^{-i \frac{2\pi}{n/2} j} = \overline{\omega_{n/2}}^j$$

$$\begin{aligned}
 X(k) &= \sum_{r=0}^{n/2-1} x(2r) \overline{\omega_{\frac{n}{2}}}^{rk} + \overline{\omega_n}^k \sum_{r=0}^{n/2-1} x(2r+1) \overline{\omega_{\frac{n}{2}}}^{rk} \\
 &= G(k) + \overline{\omega_n}^k H(k)
 \end{aligned}$$

$$G(k) = \sum_{r=0}^{n/2-1} x(2r) \omega_n^{-rk}$$

$$H(k) = \sum_{r=0}^{n/2-1} x(2r+1) \omega_n^{-rk}$$

$$\omega_n^{-r(n/2+k)} = \omega_n^{-rk}$$

$$\omega_n^{-(k+\frac{n}{2})} = -\omega_n^{-k}$$

$$X(k + \frac{n}{2}) = G(k) - \omega_n^{-k} H(k), \quad k = 0, 1, \dots, \frac{n}{2} - 1$$

可见，一个 n 点的DFT被分解为两个 $n/2$ 点的DFT，这两个 $n/2$ 点的DFT再合成为一个 n 点DFT.

$$X(k) = G(k) + \overline{\omega_n^k} H(k), \quad k = 0, 1, \dots, \frac{n}{2} - 1$$

$$X(k + \frac{n}{2}) = G(k) - \overline{\omega_n^k} H(k), \quad k = 0, 1, \dots, \frac{n}{2} - 1$$

依此类推， $G(k)$ 和 $H(k)$ 可以继续分下去。这种算法是在输入序列分成越来越小的子序列上执行DFT运算，最后再合成为 n 点的DFT。

蝶形运算

将 $G(k)$ 和 $H(k)$ 合成 $X(k)$ 运算可归结为：

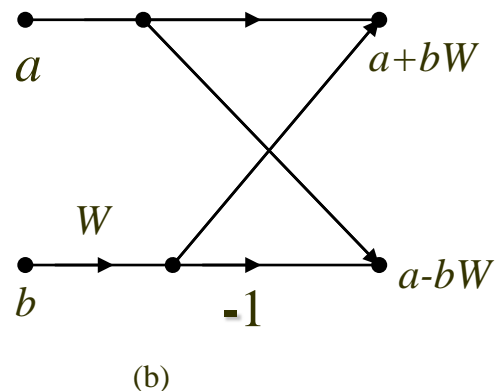
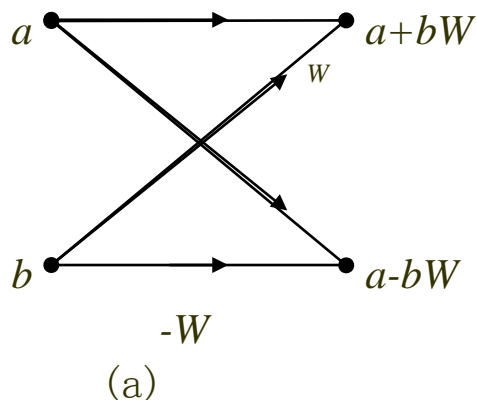
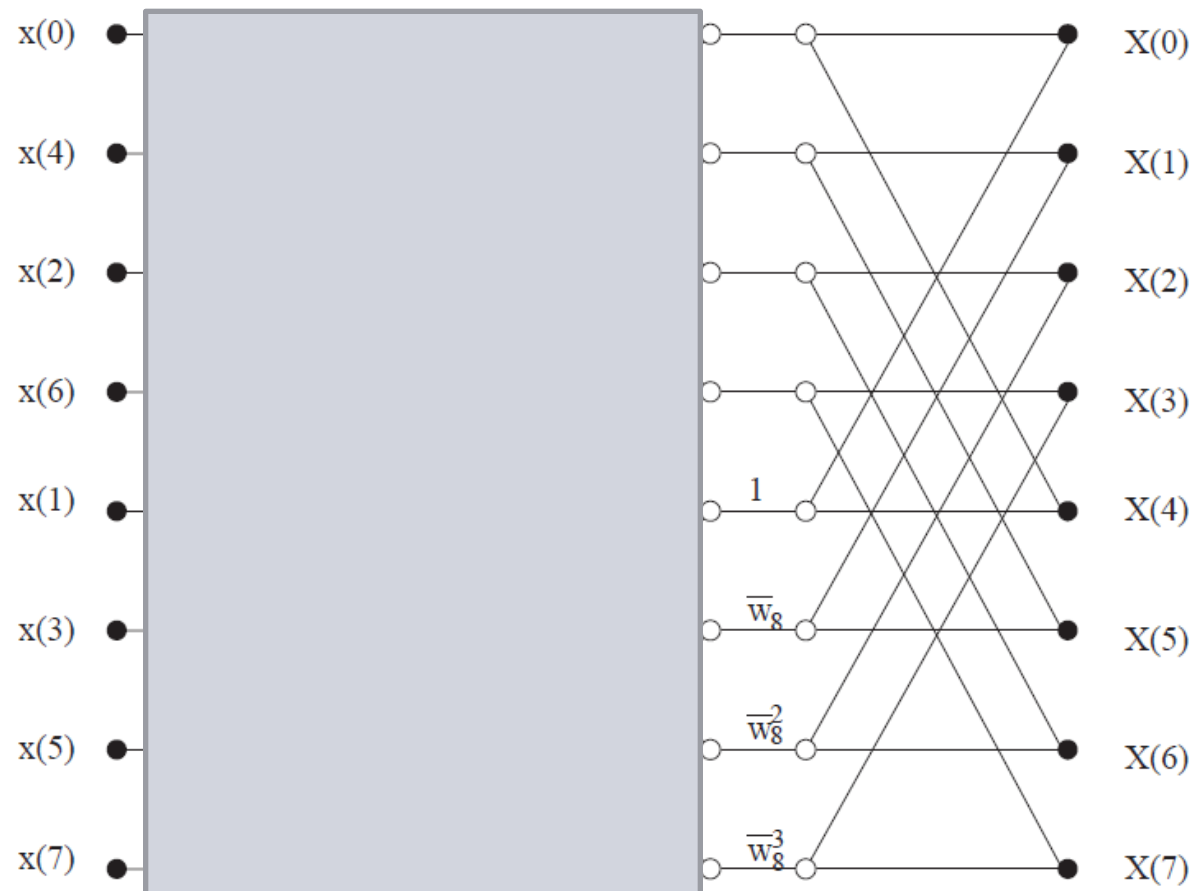
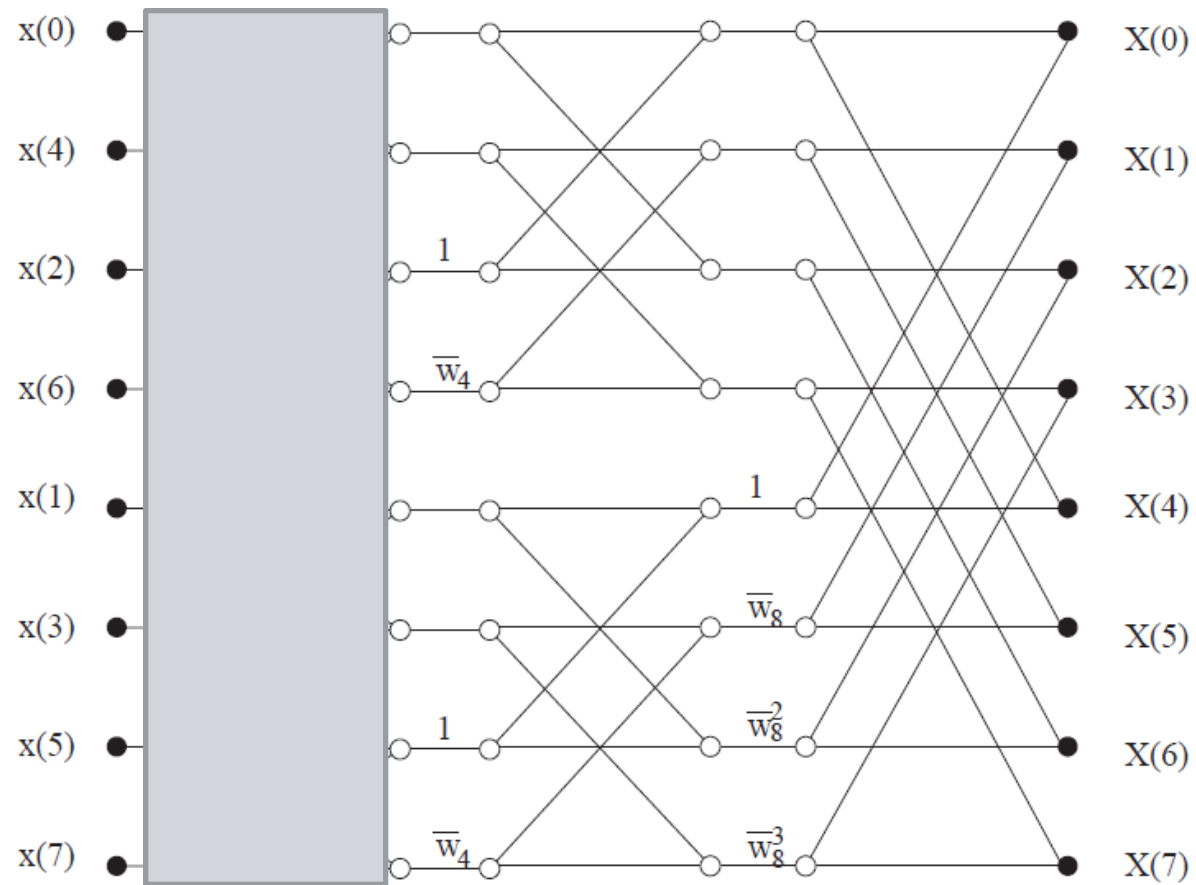
$$\begin{cases} a - bW \\ a + bW \end{cases}$$


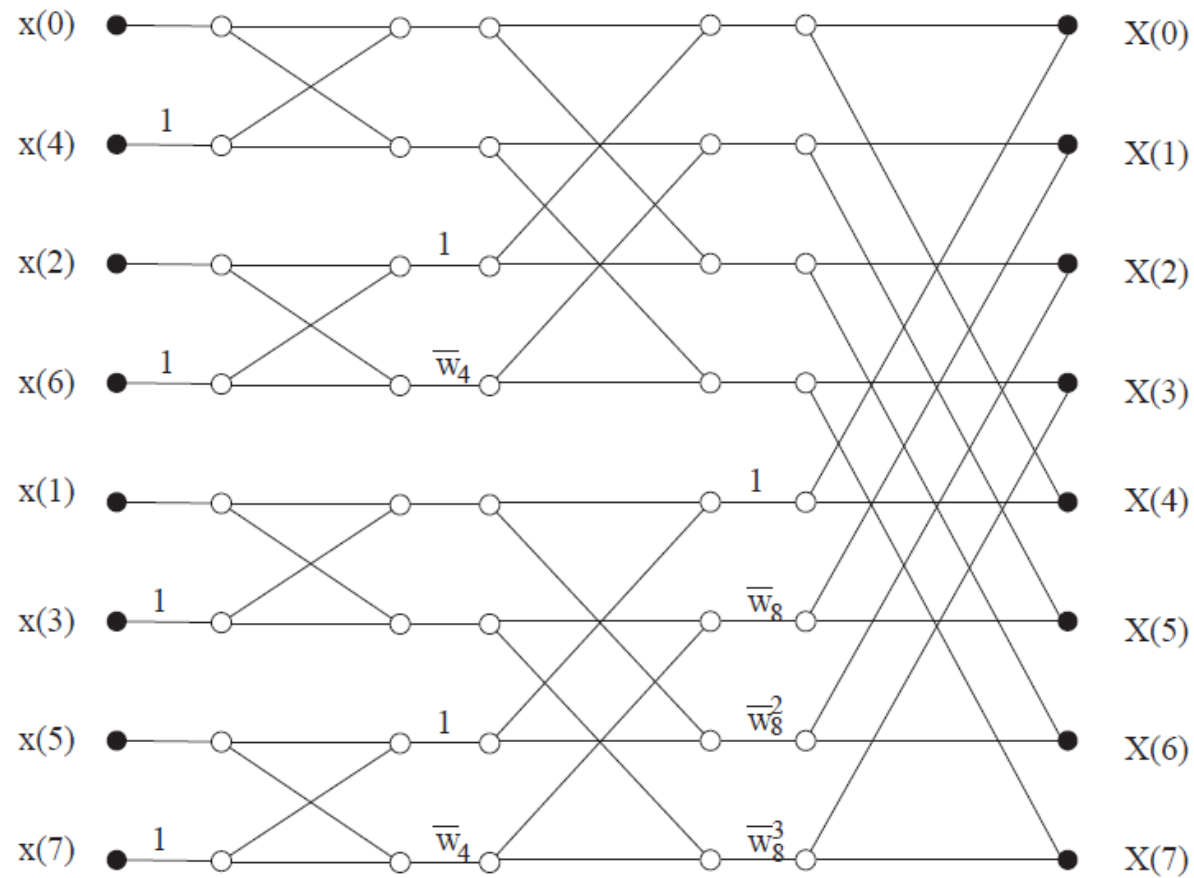
图 (a)为实现这一运算的一般方法，它需要两次乘法、两次加减法。考虑到 $-bW$ 和 bW 两个乘法仅相差一负号，可将图 (a)简化成图 2.7(b)，此时仅需一次乘法、两次加减法。



由于 $n=2^m$ ，两个 $n/2$ 点的DFT可以再做进一步的分解。即对 $\{G(k)\}$ 和 $\{H(k)\}$ 的计算，又可以分别通过计算两个长度为 $n/4$ 的DFT，进一步节省计算量。

比如，一个 8 点的DFT就可以分解为四个 2 点的DFT。





计算量

对于 $n=2^m$ ，总是可以通过 m 次分解最后成为2点的DFT运算。这样构成从 $x(n)$ 到 $X(k)$ 的 m 级运算过程。

每一级运算都由 $n/2$ 个蝶形运算构成。因此每一级运算都需要 $n/2$ 次复乘和 n 次复加。

$$\text{复乘 } \frac{n}{2} \bullet m = \frac{n}{2} \log_2 n \quad \text{复加 } n \bullet m = n \log_2 n$$

而直接运算时则与 n^2 成正比。

例 $n=2048$ ， $n^2=4194304$ ， $(n/2)\log_2 n=11264$ ， $n^2 / [(n/2)\log_2 n]=392.4$ 。FFT显然要比直接法快得多。

原位计算

当数据输入到存储器中以后，每一级运算的结果仍然储存在同一组存储器中，直到最后输出，中间无需其它存储器，这叫原位计算。

每一级运算均可在原位进行，这种原位运算结构可节省存储单元，降低设备成本，还可节省寻址的时间。

$$\begin{cases} a \\ b \end{cases} \Rightarrow \begin{cases} a - bW \\ a + bW \end{cases}$$

$$\begin{cases} b = bw \\ a = a + b \\ b = a - 2b \end{cases}$$

序数重排

对FFT的原位运算结构，当运算完毕时，正好顺序存放着 $X(0)$, $X(1)$, $X(2)$, ..., $X(7)$ ，因此可直接按顺序输出，但这种原位运算的输入 $x(n)$ 却不能按这种自然顺序存入存储单元中，而是按 $x(0)$, $x(4)$, $x(2)$, $x(6)$, ..., $x(7)$ 的顺序存入存储单元，这种顺序看起来相当杂乱，然而它也是有规律的。

自然顺序	二进制表示	码位倒置	码位倒置顺序
0	000	000	0
1	001	100	4
2	010	010	2
3	011	110	6
4	100	001	1
5	101	101	5
6	110	010	3
7	111	111	7

在实际运算中，一般是先按自然顺序输入存储单元，然后再通过变址运算将自然顺序的存储转换成码位倒置顺序的存储，然后进行FFT的原位计算。

任意长度的FFT算法

- 以上讨论的 $N=2^m$ ，这种情况实际上使用得最多。
- 优点：程序简单，效率高，使用方便。
- 实际应用时，有限长序列的长度 N 很大程度上由人为因素确定，因此多数场合可取 $N=2^m$ ，从而直接使用以 2 为基数的FFT算法。
- 如 N 不能人为确定， N 的数值也不是以2为基数的整数次方，常见的方法是补零：将 $x(n)$ 补零，使 $N=2^M$ 。
例如： $N=30$ ，补上 $x(30)=x(31)=0$ 两点，使 $N=32=2^5$ ，这样可直接采用以2为基数 $M=5$ 的FFT程序。有限长度序列补零后并不影响其频谱 $X(e^{j\omega})$ ，只是频谱的采样点数增加了。

逆傅里叶变换的快速算法

- DFT:

$$F_n(y) = \bar{y} = \{\bar{y}_j\}$$

$$\bar{y}_j = \sum_{k=0}^{n-1} y_k \omega^{-jk}, \omega = e^{\frac{2\pi i}{n}}$$

- IDFT:

$$y_j = \frac{1}{n} \sum_{k=0}^{n-1} \bar{y}_k \omega^{jk},$$

快速算法一

- IDFT与DFT的差别：
 - 把DFT中的每一个系数 $\overline{\omega}$ 改为 ω ,
 - 再乘以常数 $1/n$
- 可直接用于IDFT运算, 当然, 蝶形中的系数 $\overline{\omega}^k$ 应改为 ω^k

快速算法二

$$y_j = \frac{1}{n} \sum_{k=0}^{n-1} \overline{y_k} \omega^{jk} = \frac{1}{n} \overline{\left(\sum_{k=0}^{n-1} y_k \overline{\omega}^{jk} \right)} = \frac{1}{n} \overline{DFT(\overline{y})_j}$$

IFFT计算分三步：

- ① 将 $y(k)$ 取共轭
- ② 对共轭后的序列直接作FFT
- ③ 对FFT的结果取共轭并乘以 $1/n$ 。

- 计算周期卷积

假设 $y, z \in \mathcal{S}_n$. 直接计算 y 和 z 的卷积

$$(y * z)_k = \sum_{j=0}^{n-1} y_j z_{k-j} = \sum_{j=0}^{n-1} y_{k-j} z_j.$$

需要 n^2 次乘法. 由 FFT 及卷积定理

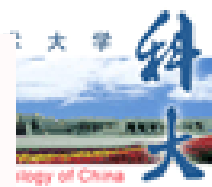
$$(\mathcal{F}_n\{y * z\})_k = (\mathcal{F}_n\{y\})_k (\mathcal{F}_n\{z\})_k, \quad 0 \leq k \leq n-1,$$

可得如下算法: $n = 2^L$,

- 利用 FFT 计算 $\mathcal{F}_n\{y\}$ 及 $\mathcal{F}_n\{z\}$.
- 计算 $\mathcal{F}_n\{y\}\mathcal{F}_n\{z\}$.
- 利用快速 Fourier 逆变换计算 $\mathcal{F}_n^{-1}\{\mathcal{F}_n\{y * z\}\}$.

计算复杂度为

$$(n \log_2^n - 2n + 2) + n + \left(\frac{1}{2}n \log_2^n - n + 1\right) = \frac{3n}{2} \log_2^n - 2n + 3.$$



- 计算非周期卷积

假设 y, z 为非周期有限信号, 即

$$y_k = 0 \text{ if } k < 0 \text{ or } k \geq M,$$

$$z_k = 0 \text{ if } k < 0 \text{ or } k \geq Q,$$

其中 $Q \leq M$. 考虑计算非周期卷积

$$(y * z)_k = \sum_{q=0}^{Q-1} y_{k-q} z_q, \quad k = 0, 1, \dots, M + Q - 2.$$

其计算复杂度为 MQ . 令 n 是满足 $n \geq M + Q - 1$ 的最小的 2 的整数次幂, 并将 y 和 z 看成是 n 周期序列. 于是非周期卷积的计算转化为利用 FFT 计算周期卷积. 计算复杂度为 $\frac{3n}{2} \log_2^n - 2n + 3$.

注 如果两个信号的长度不相称, 则上述 FFT 方法失效.

例 考虑计算

$$(y * z)_k = \sum_{q=0}^4 y_{k-q} z_q$$

其中 $Q = 5, M = 1000$. 直接计算非周期卷积需要 5000 次乘法, 而利用 FFT 方法计算 ($n = 1024$) 需要乘法次数约为 10^4 .

DFT的应用

细分算法的特征值结构

几何造型

几何造型与三个技术领域CAD、CAE、CAM相关，它们是现代工业制造的核心基础

计算机辅助设计 (CAD)
几何模型的构造



计算机辅助工程 (CAE)
几何模型的物理仿真

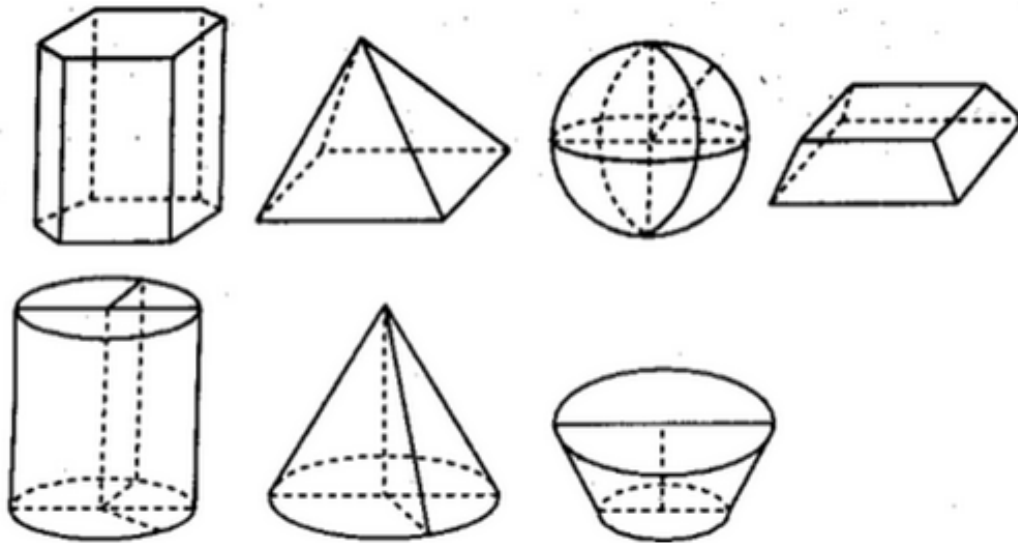


计算机辅助制造 (CAM)
几何模型的制造



CFR AutoLab

3D物体形状的数学表达



各种3D数字采集设备发展迅速...



深度相机



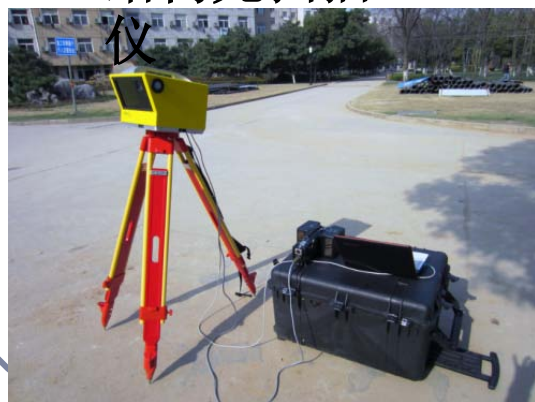
结构光扫描仪



车载激光扫描仪



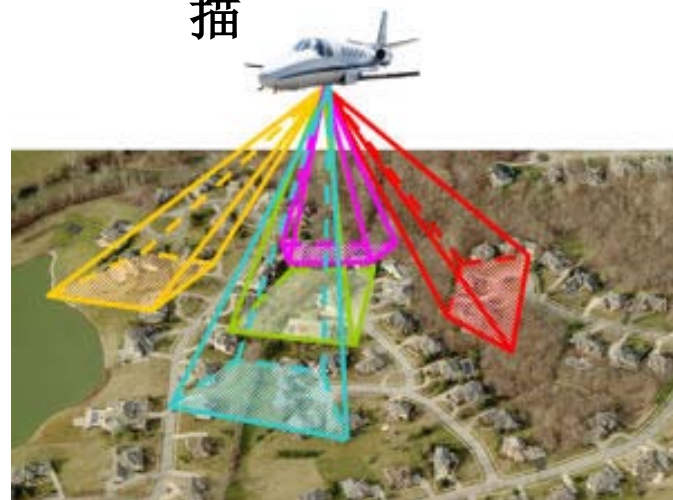
遥感摄影扫描



LiDAR扫描仪



全站仪

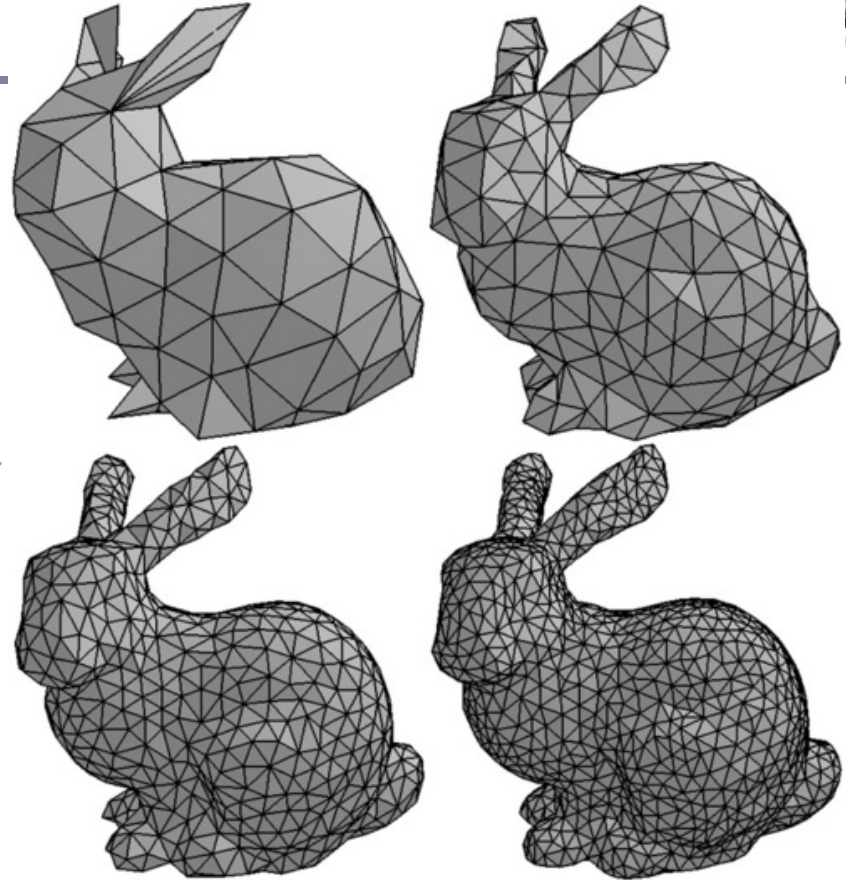
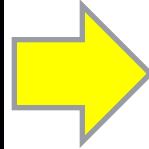


倾斜摄影扫描

三维点云或网格

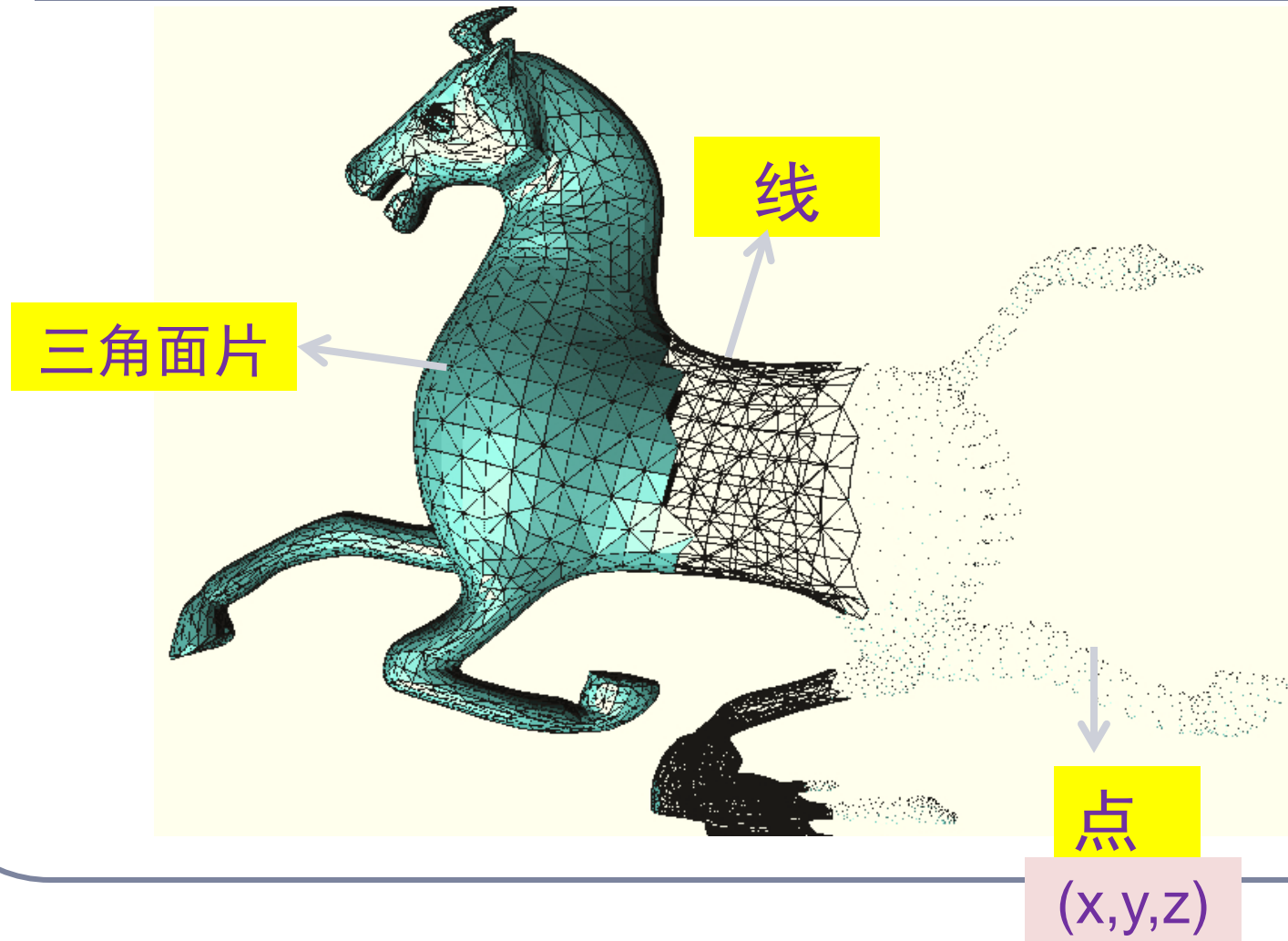


陶瓷兔子实物



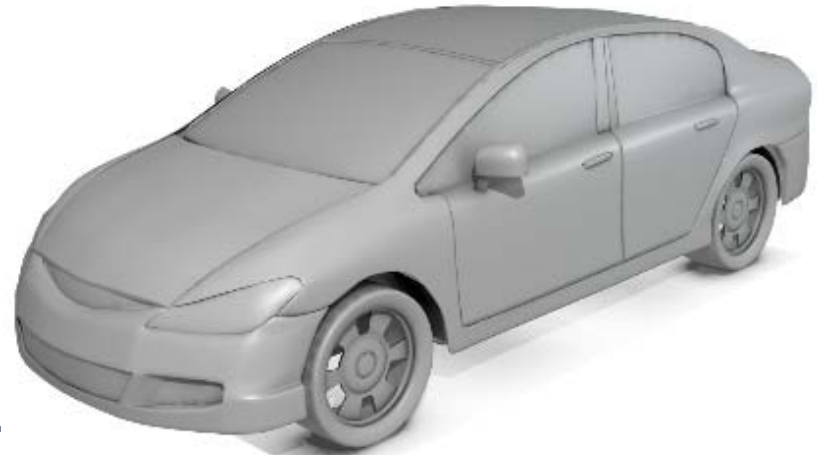
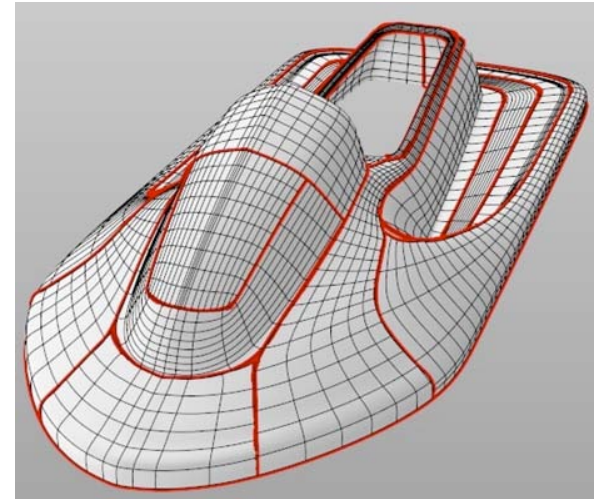
采用不同密度的3D坐标点
采样来表达的兔子模型

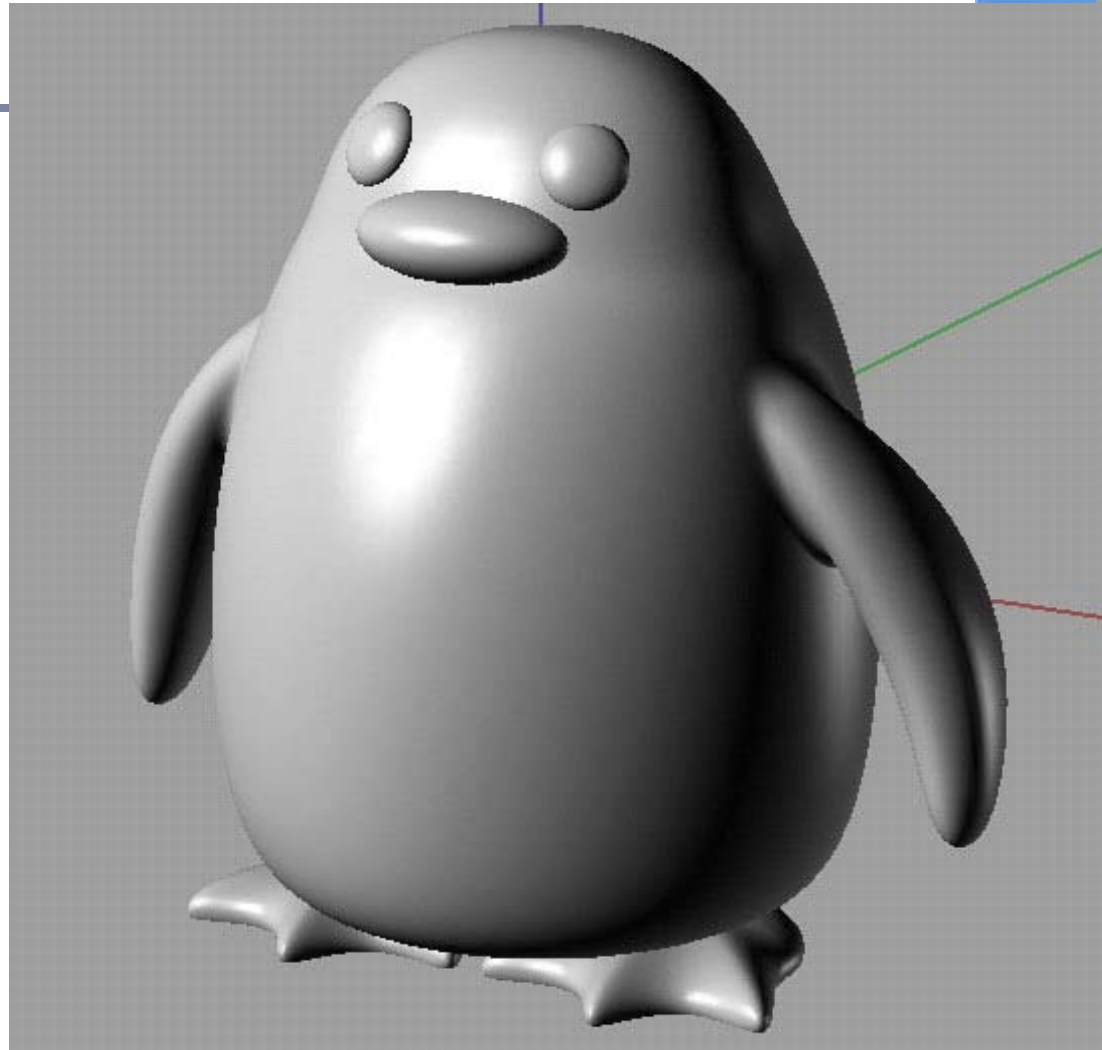
3D网格数据：点、线、面



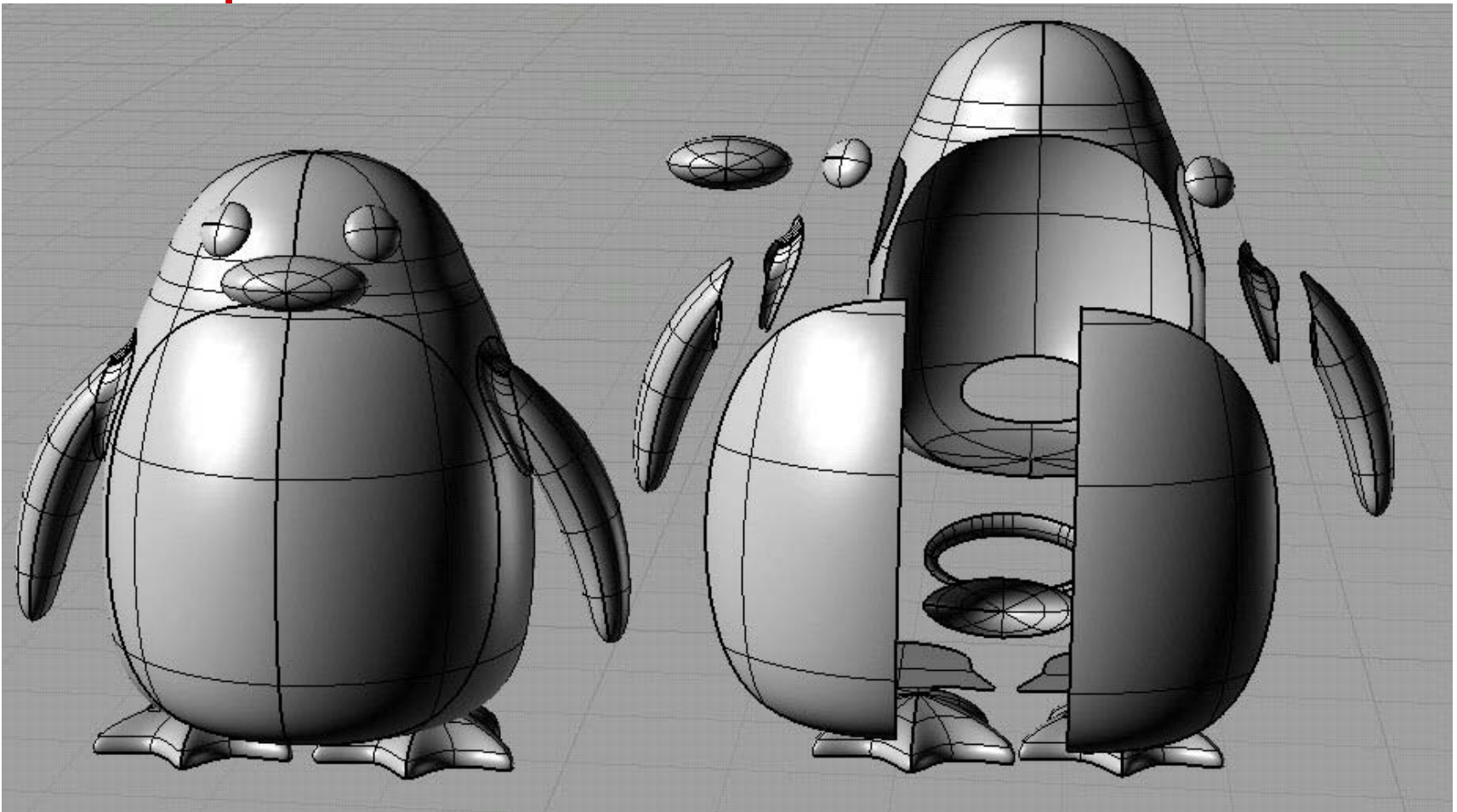
3D物体形状的数学表达

- 样条曲线曲面 (NURBS)
 - 工业造型标准
 - STEP, IGES



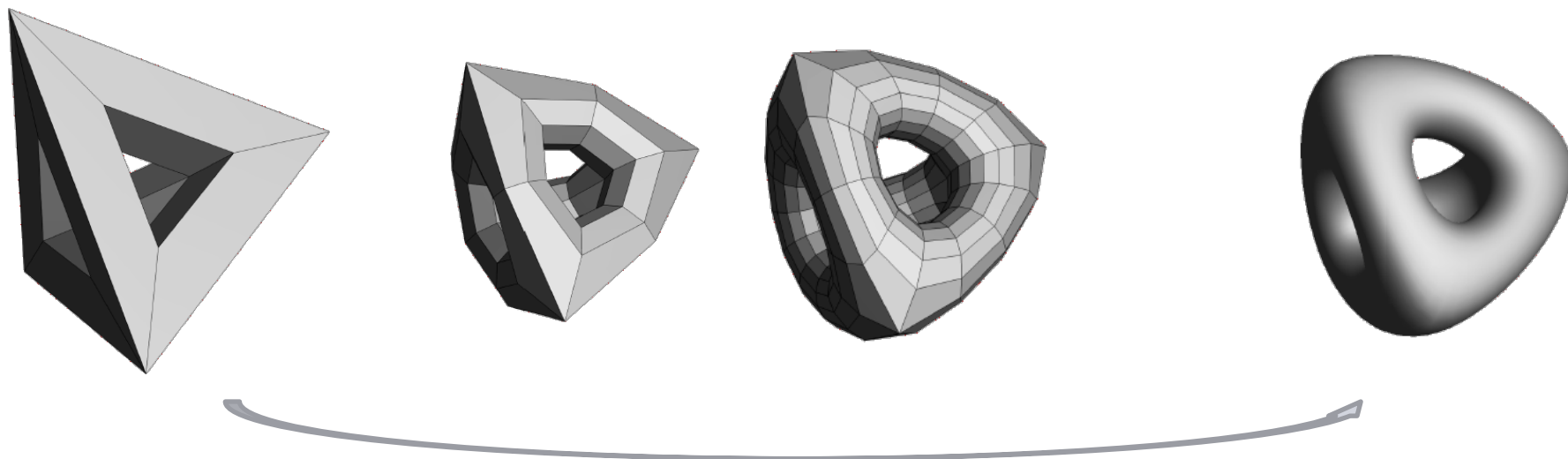


Complex model?



细分表示

从一个粗糙的控制网格中定义一个光滑的曲面





电影



游戏



Catmull-Clark scheme '78

● Face Point

$$\overset{\circ}{f} = \frac{1}{m} \sum_{i=1}^m \overset{\bullet}{p}_i$$

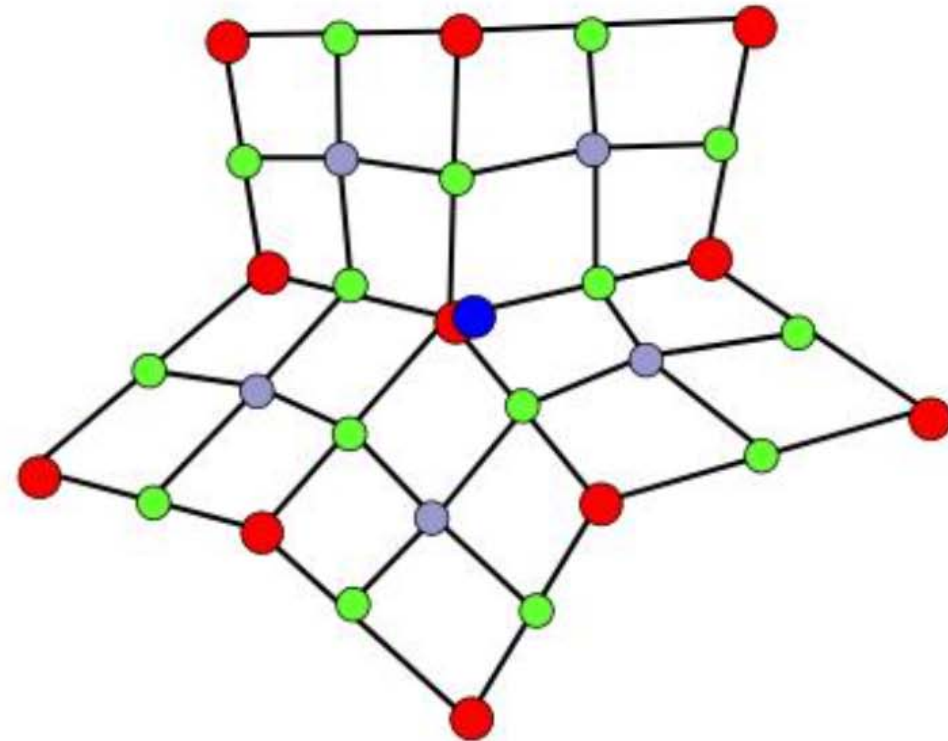
● Edge Point

$$\overset{\circ}{e} = \frac{\overset{\bullet}{p}_1 + \overset{\bullet}{p}_2 + \overset{\circ}{f}_1 + \overset{\circ}{f}_2}{4}$$

● Vertex Point

$$\overset{\bullet}{v} = \frac{Q}{n} + \frac{2R}{n} + \frac{p(n-3)}{n}$$

$$\overset{\bullet}{v} = \frac{1}{n^2} \sum_{i=1}^n \overset{\circ}{f}_i + \frac{1}{n^2} \sum_{i=1}^n \overset{\circ}{e}_i + \frac{n-2}{n} \overset{\bullet}{p}$$

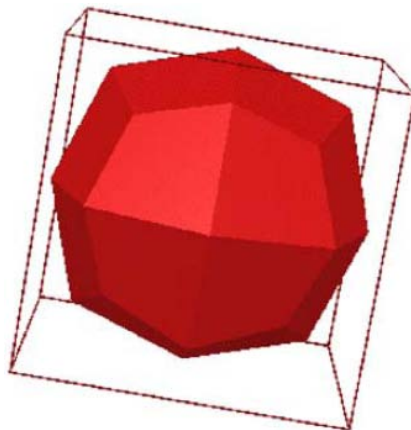


- Q – Average of face points
- R – Average of midpoints
- P – old vertex

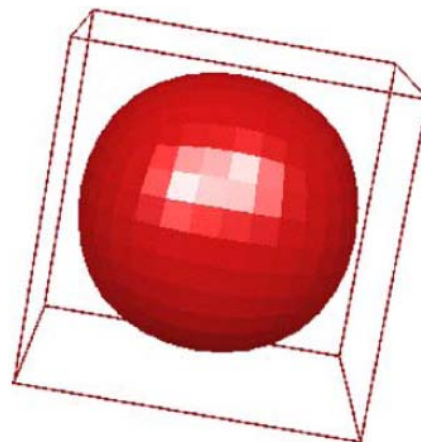
细分实例



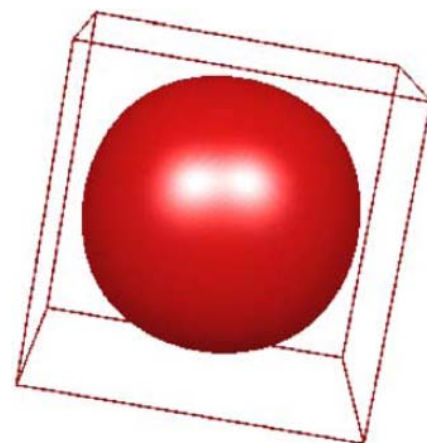
初始网格



细分一次

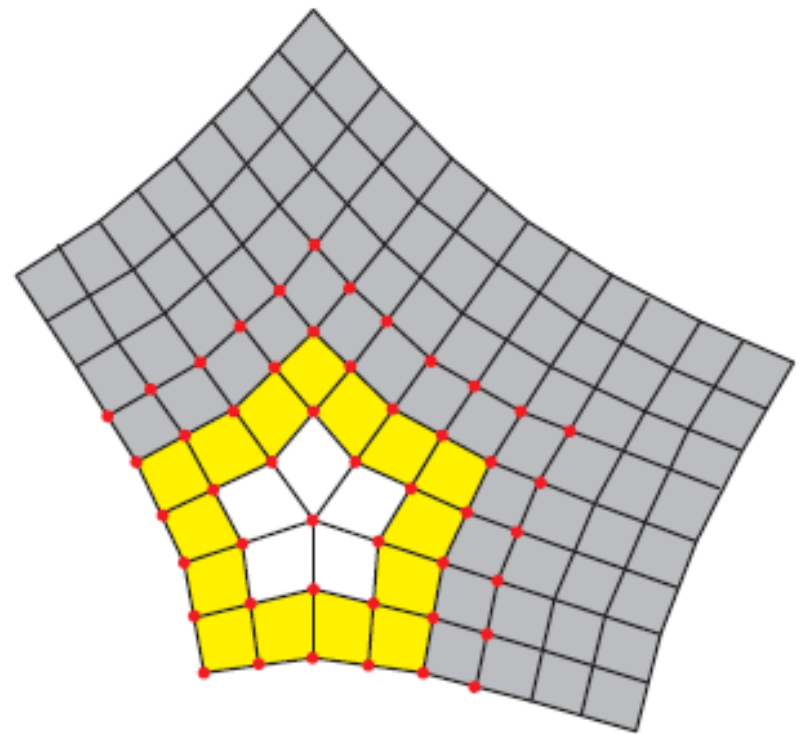
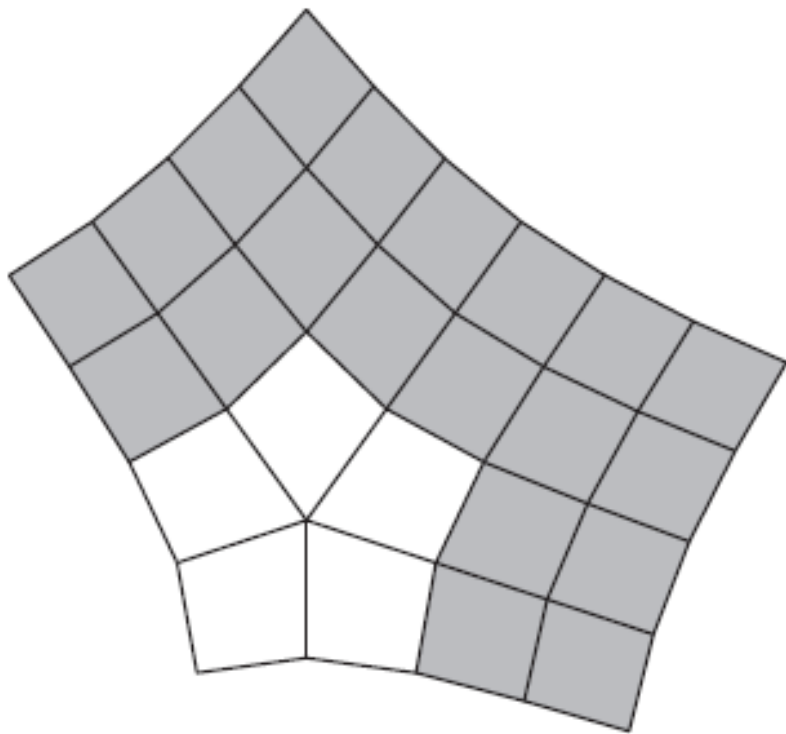


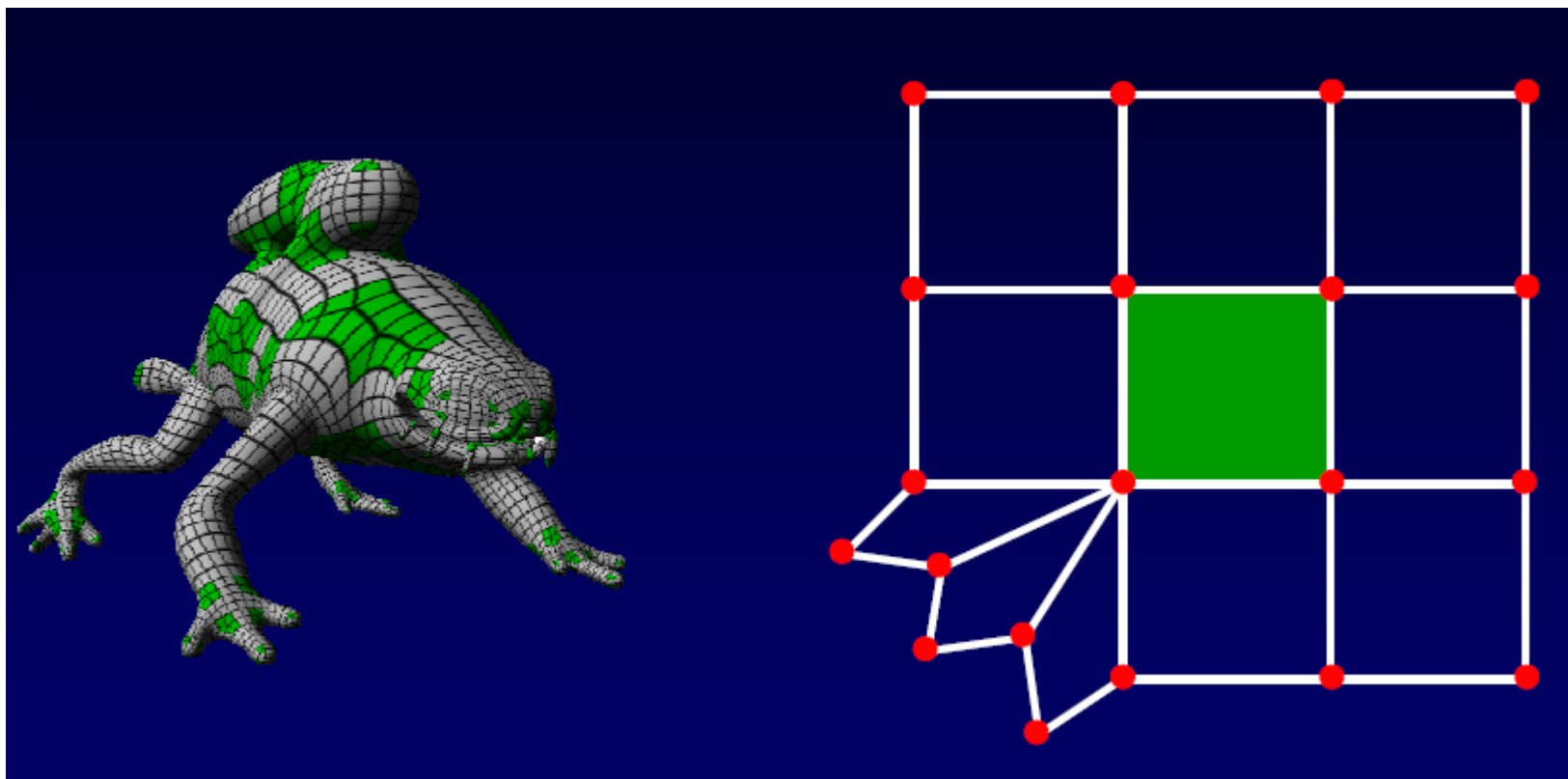
细分两次

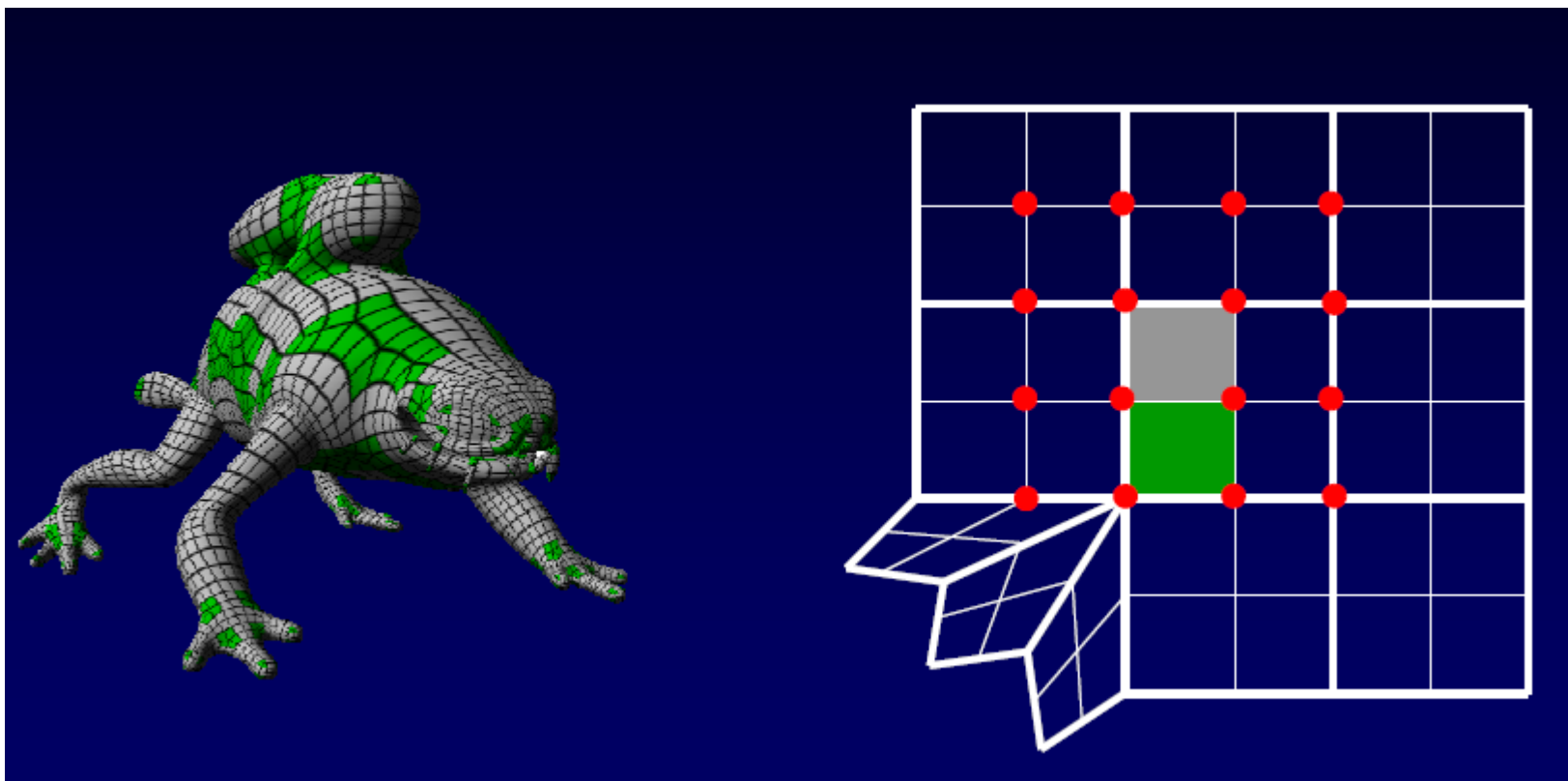


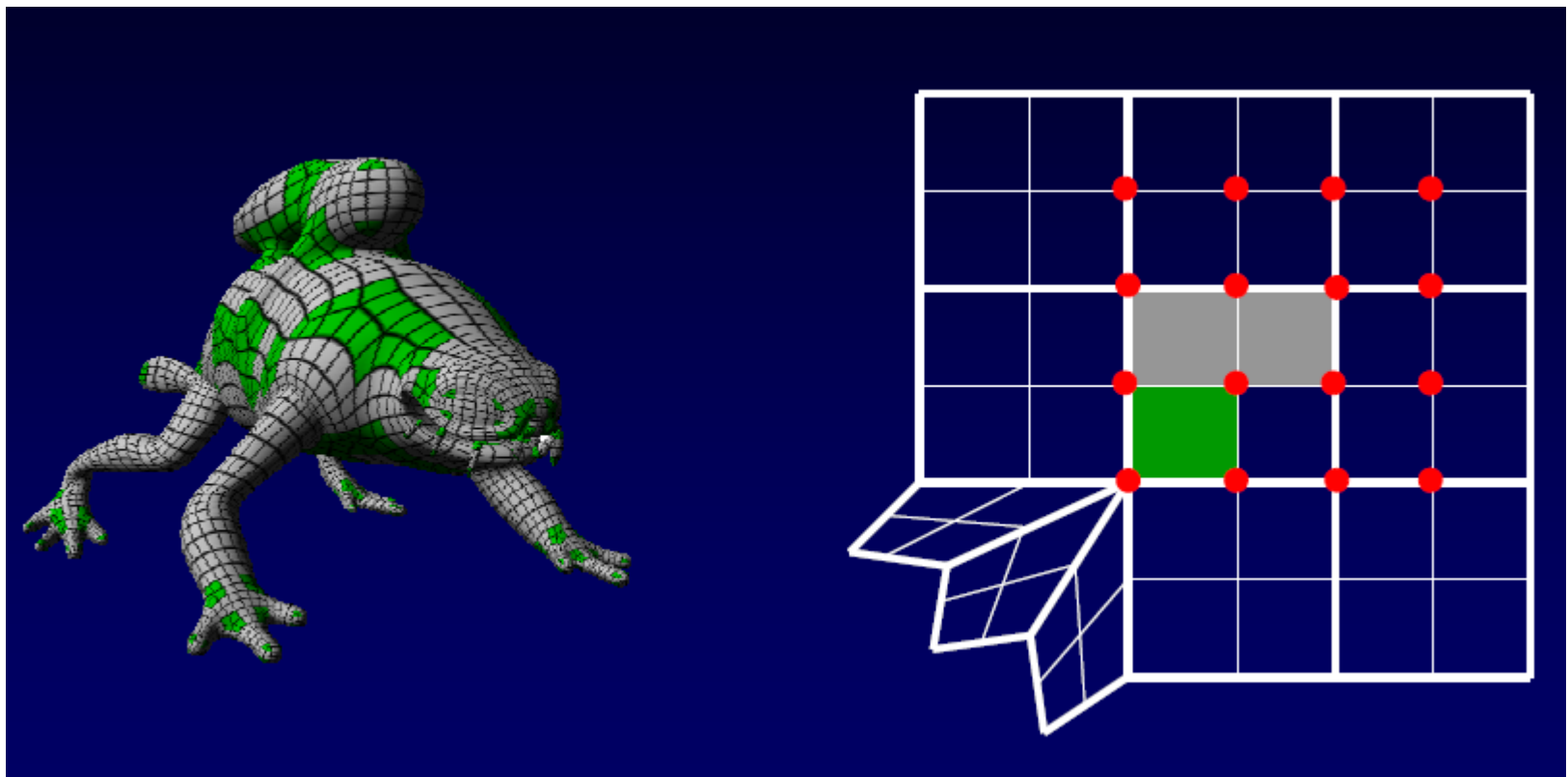
极限曲面

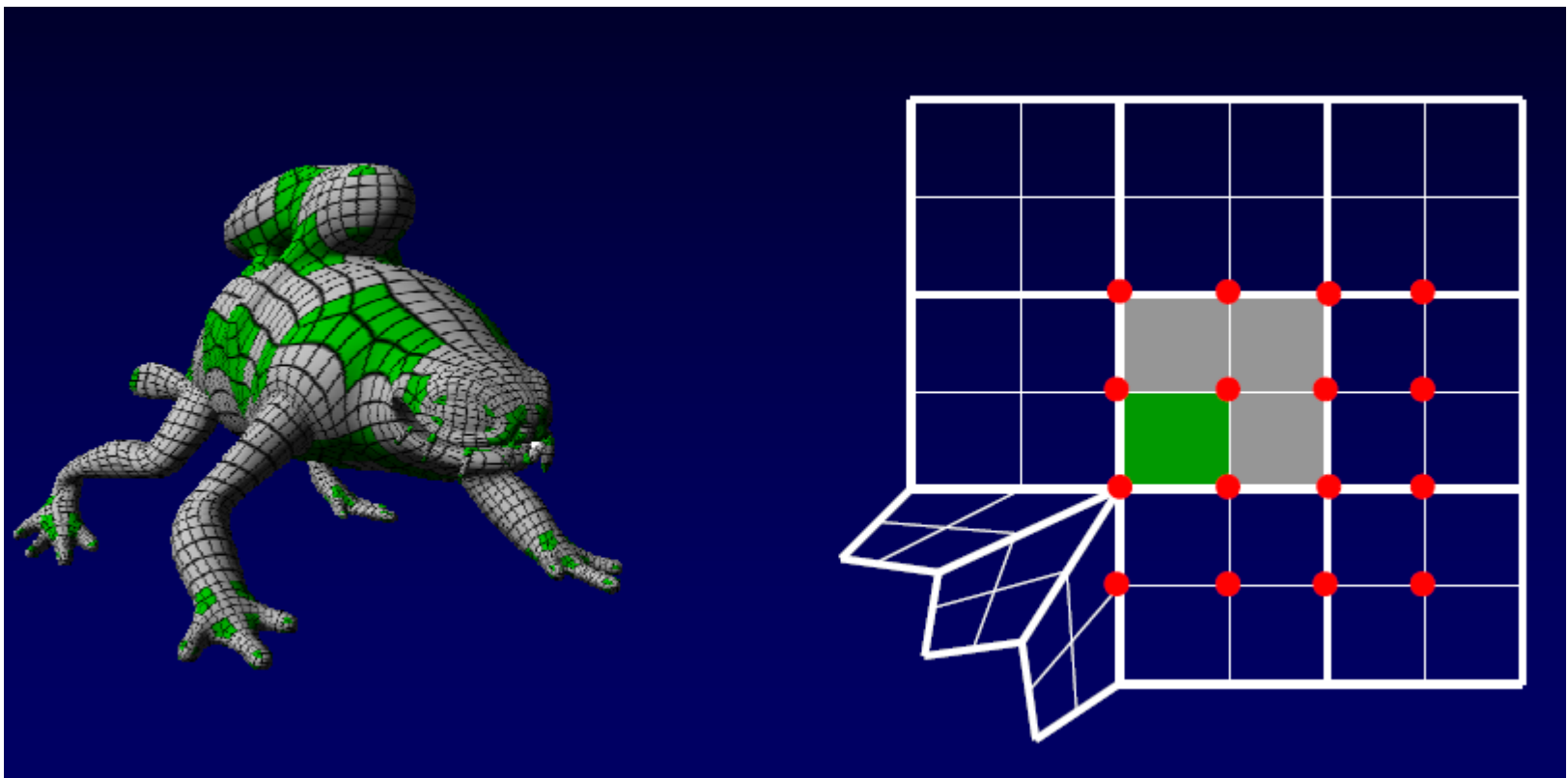
细分如何表示

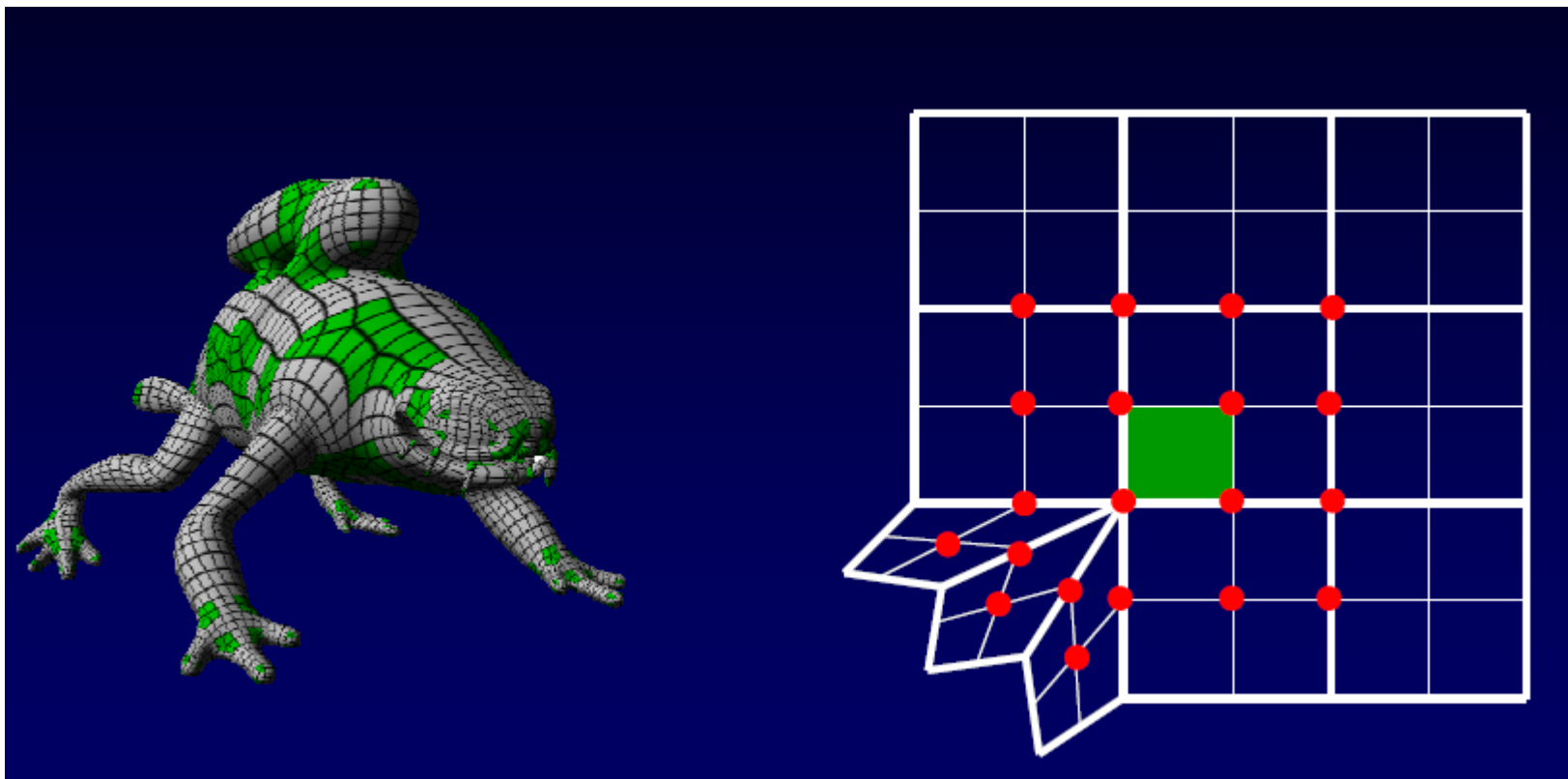


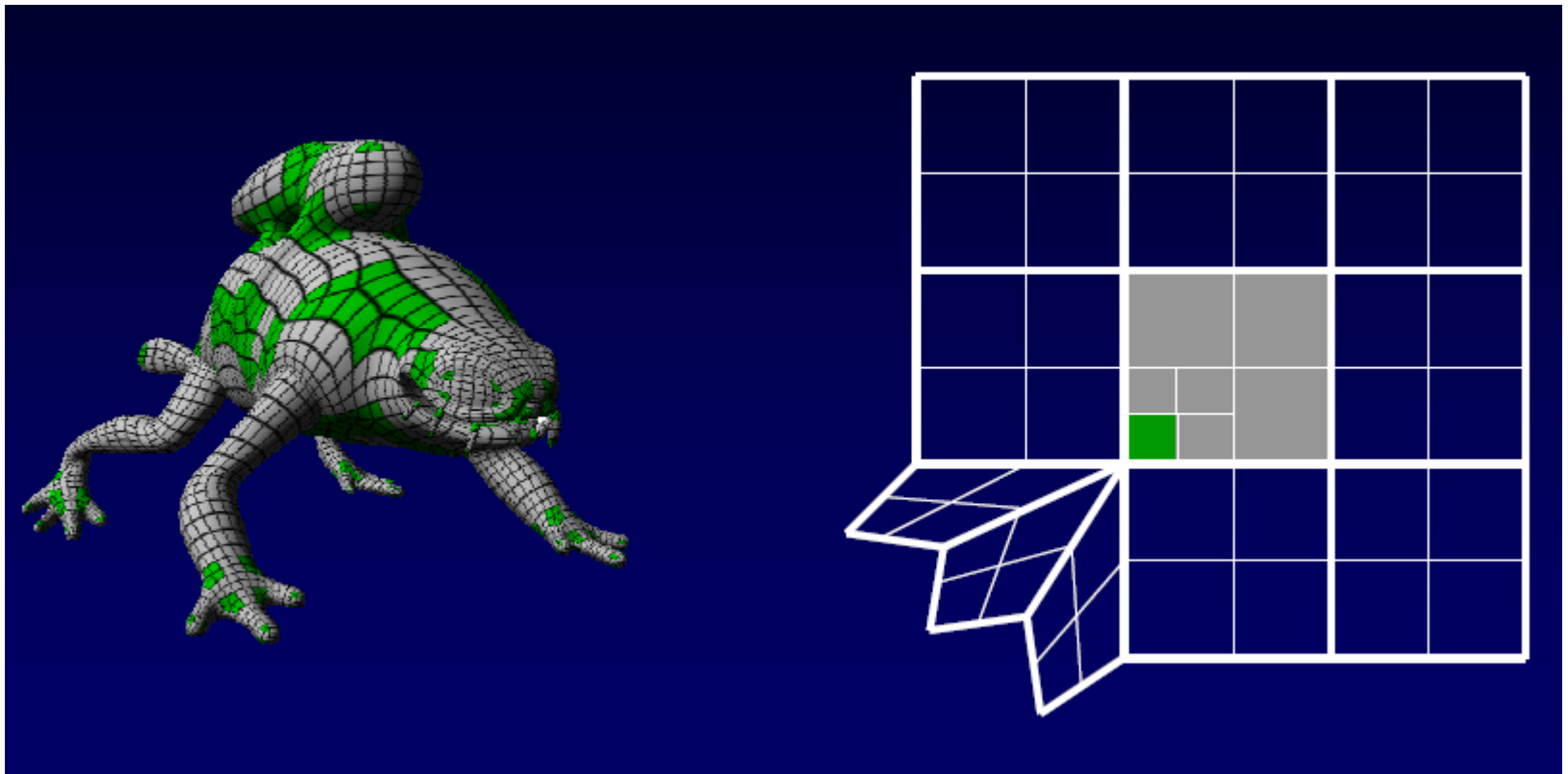


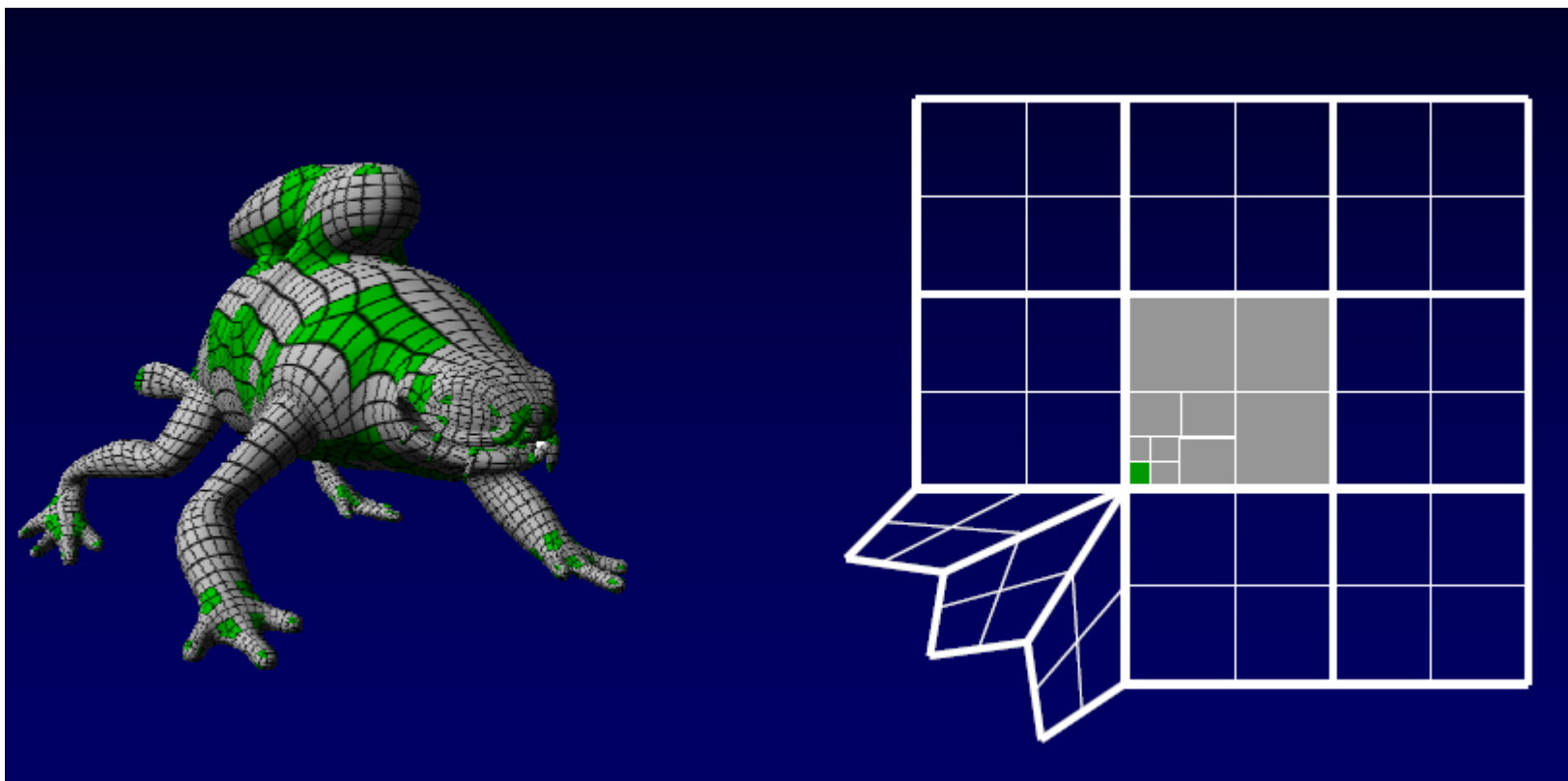




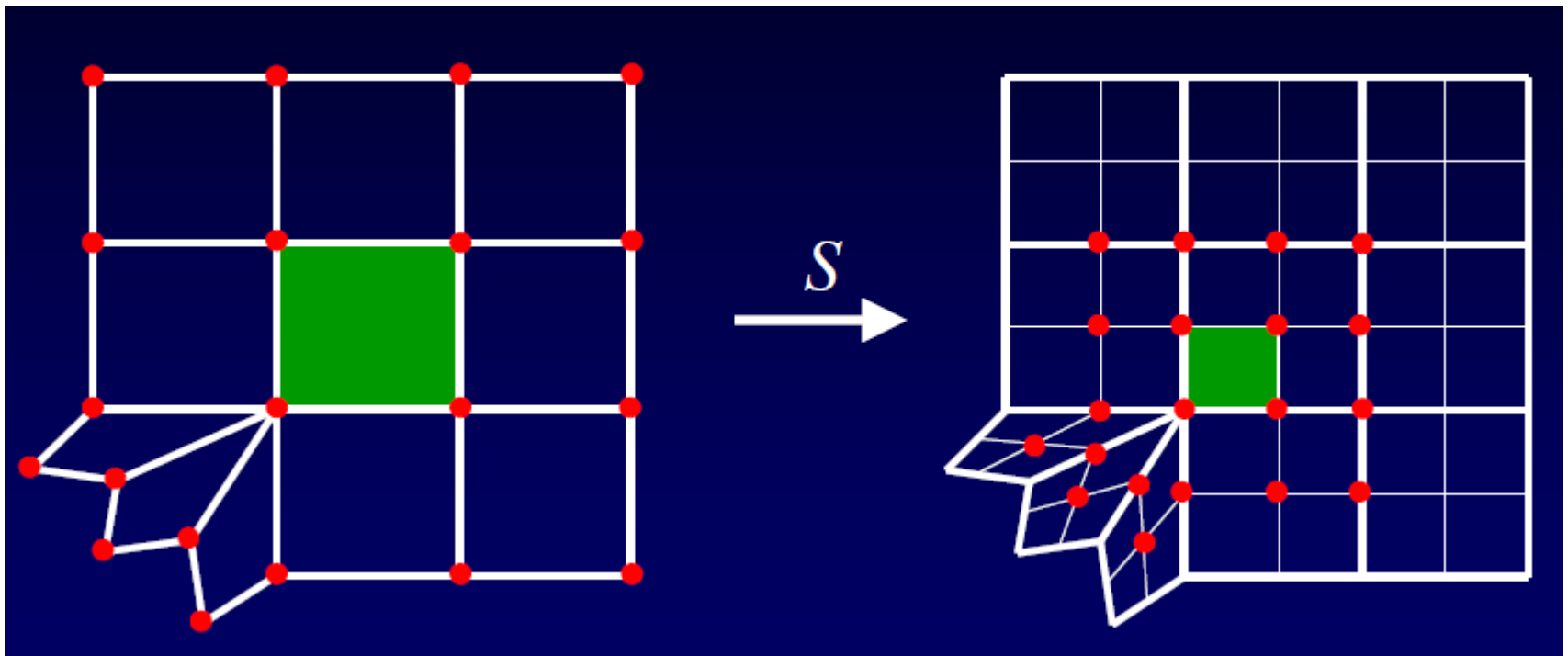








细分矩阵



关键问题：计算 S^m

$$S = \begin{pmatrix} \frac{4n-7}{4n} & \frac{3}{2n^2} & \cdots & \frac{3}{2n^2} & \frac{1}{4n^2} & \cdots & \frac{1}{4n^2} \\ \frac{3}{8} & \frac{3}{8} & \cdots & \frac{1}{16} & \frac{1}{16} & \cdots & \frac{1}{16} \\ \vdots & \vdots & \ddots & \vdots & \vdots & \ddots & \vdots \\ \frac{3}{8} & \frac{3}{8} & \cdots & \frac{1}{16} & \frac{1}{16} & \cdots & \frac{1}{16} \\ \frac{1}{4} & \frac{1}{4} & \cdots & 0 & \frac{1}{4} & \cdots & 0 \\ \vdots & \vdots & \vdots & \vdots & \vdots & \vdots & \vdots \\ \frac{1}{4} & \frac{1}{4} & \cdots & \frac{1}{4} & 0 & \cdots & \frac{1}{4} \end{pmatrix}$$

假设 $\{e_k\}$ 和 $\{f_k\}$, $k = 0, \dots, n-1$ 分别是 $\{E_j\}$ 和 $\{F_j\}$ 的离散傅里叶变换, $\{\bar{e}_k\}$ 和 $\{\bar{f}_k\}$, $k = 0, \dots, n-1$ 分别是 $\{\bar{E}_j\}$ 和 $\{\bar{F}_j\}$ 的离散傅里叶变换, 即

$$e_\lambda = \frac{1}{n} \sum_{j=0}^{n-1} E_j \bar{\omega}^{j\lambda}, \quad \bar{e}_\lambda = \frac{1}{n} \sum_{j=0}^{n-1} \bar{E}_j \bar{\omega}^{j\lambda} \quad (3.28)$$

$$E_k = \sum_{\lambda=0}^{n-1} e_\lambda \omega^{k\lambda}, \quad \bar{E}_k = \sum_{\lambda=0}^{n-1} \bar{e}_\lambda \omega^{k\lambda} \quad (3.29)$$

$$f_\lambda = \frac{1}{n} \sum_{j=0}^{n-1} F_j \bar{\omega}^{j\lambda}, \quad \bar{f}_\lambda = \frac{1}{n} \sum_{j=0}^{n-1} \bar{F}_j \bar{\omega}^{j\lambda} \quad (3.30)$$

$$F_k = \sum_{\lambda=0}^{n-1} f_\lambda \omega^{k\lambda}, \quad \bar{F}_k = \sum_{\lambda=0}^{n-1} \bar{f}_\lambda \omega^{k\lambda} \quad (3.31)$$

$$v_0 = V, \quad v_\lambda = 0, \lambda \neq 0 \quad (3.32)$$

$$\bar{v}_0 = \bar{V}, \quad \bar{v}_\lambda = 0, \lambda \neq 0 \quad (3.33)$$

其中 $\omega = e^{\frac{2\pi}{n}}$ and $\bar{\omega} = e^{-\frac{2\pi}{n}}$ 。

这样, 上述细分关系, 当 $\lambda \neq 0$

$$\begin{aligned}
 \bar{e}_\lambda &= \frac{1}{n} \sum_{j=0}^{n-1} \bar{E}_j \bar{\omega}^{j\lambda} \\
 &= \frac{1}{n} \sum_{j=0}^{n-1} \left(\frac{3}{8} V + \frac{3}{8} E_j + \frac{1}{16} (E_{j-1} + E_{j+1}) + \frac{1}{16} (F_{j-1} + F_j) \right) \bar{\omega}^{j\lambda} \\
 &= \frac{3}{8} e_\lambda + \frac{1}{16} (\omega^\lambda + \omega^{-\lambda}) e_\lambda + \frac{1}{16} (1 + \omega^{-k}) f_\lambda
 \end{aligned}$$

$$\begin{aligned}
 \bar{f}_\lambda &= \frac{1}{n} \sum_{j=0}^{n-1} \bar{F}_j \bar{\omega}^{j\lambda} \\
 &= \frac{1}{n} \sum_{j=0}^{n-1} \left(\frac{1}{4} V + \frac{1}{4} (E_j + E_{j+1}) + \frac{1}{4} F_j \right) \bar{\omega}^{j\lambda} \\
 &= \frac{1}{4} f_\lambda + \frac{1}{4} (1 + \omega^\lambda) e_\lambda
 \end{aligned}$$

当 $\lambda = 0$, 注意到:

$$\begin{aligned}\bar{V} &= \frac{4n-7}{4n}V + \frac{3}{2n^2} \sum_{i=0}^{n-1} E_i + \frac{1}{4n^2} \sum_{i=0}^{n-1} F_i \\ &= \frac{(n-2)V + \sum_{i=0}^{n-1} E_i + \sum_{i=0}^{n-1} \bar{F}_i}{n}\end{aligned}$$

代入即可得:

$$\begin{aligned}\bar{v}_0 &= \frac{1}{4n}f_0 + \frac{3}{2n}e_0 + \frac{4n-7}{4n}v_0 \\ \bar{e}_0 &= \frac{1}{8}f_0 + \frac{1}{2}e_0 + \frac{3}{8}v_0 \\ \bar{f}_0 &= \frac{1}{4}f_0 + \frac{1}{2}e_0 + \frac{1}{4}v_0\end{aligned}$$

则 $\bar{p} = mp$, 这里

$$m = \begin{pmatrix} T_0 & 0 & 0 & 0 \\ 0 & T_1 & 0 & 0 \\ \vdots & \vdots & \ddots & \vdots \\ 0 & 0 & \dots & T_{n-1} \end{pmatrix} \quad (3.34)$$

其中:

$$T_0 = \begin{pmatrix} \frac{4n-7}{4n} & \frac{3}{2n} & \frac{1}{4n} \\ \frac{3}{8} & \frac{1}{2} & \frac{1}{8} \\ \frac{1}{4} & \frac{1}{2} & \frac{1}{4} \end{pmatrix}$$

$$T_k = \begin{pmatrix} \frac{3}{8} + \frac{1}{16}(\omega^k + \omega^{-k}) & \frac{1}{16}(1 + \omega^{-k}) \\ \frac{1}{4}(1 + \omega^k) & \frac{1}{4} \end{pmatrix}$$

可以求出 T_0 的三个特征值是1, $\frac{3n-7+\sqrt{5n^2-30n+49}}{8n}$, $\frac{3n-7-\sqrt{5n^2-30n+49}}{8n}$ 。而对于 $k \neq 0$, T_k 的两个特征值是

$$\lambda_{1,2}^k = \frac{\omega^k + 5 \pm \sqrt{(\omega^k + 9)(\omega^k + 1)}}{16}$$

切比雪夫插值



插值问题

- 定义: $f(x)$ 为定义在区间 $[a, b]$ 上的函数, x_0, x_1, \dots, x_n 为 $[a, b]$ 上 $n+1$ 个互不相同的点, Φ 为给定的某一函数类。若 Φ 上有函数 $\varphi(x)$ 满足:

$$\varphi(x_i) = f(x_i), \quad i = 0, 1, \dots, n$$

则称 $\varphi(x)$ 为 $f(x)$ 关于节点 x_0, x_1, \dots, x_n 的插值函数

- 称 x_0, x_1, \dots, x_n 为插值节点
- 称 $(x_i, f(x_i))$ 为插值型值点
- 称 $f(x)$ 为被插函数

多项式插值的Lagrange形式

- 取 $\Phi = P_n(x) = \text{span}\{1, x, x^2, \dots, x^n\}$, 有

$$\begin{vmatrix} 1 & x_0 & \cdots & x_0^n \\ 1 & x_1 & \cdots & x_1^n \\ \vdots & \vdots & \ddots & \vdots \\ 1 & x_n & \cdots & x_n^n \end{vmatrix} = \prod_{0 \leq j < i \leq n} (x_i - x_j) \neq 0$$

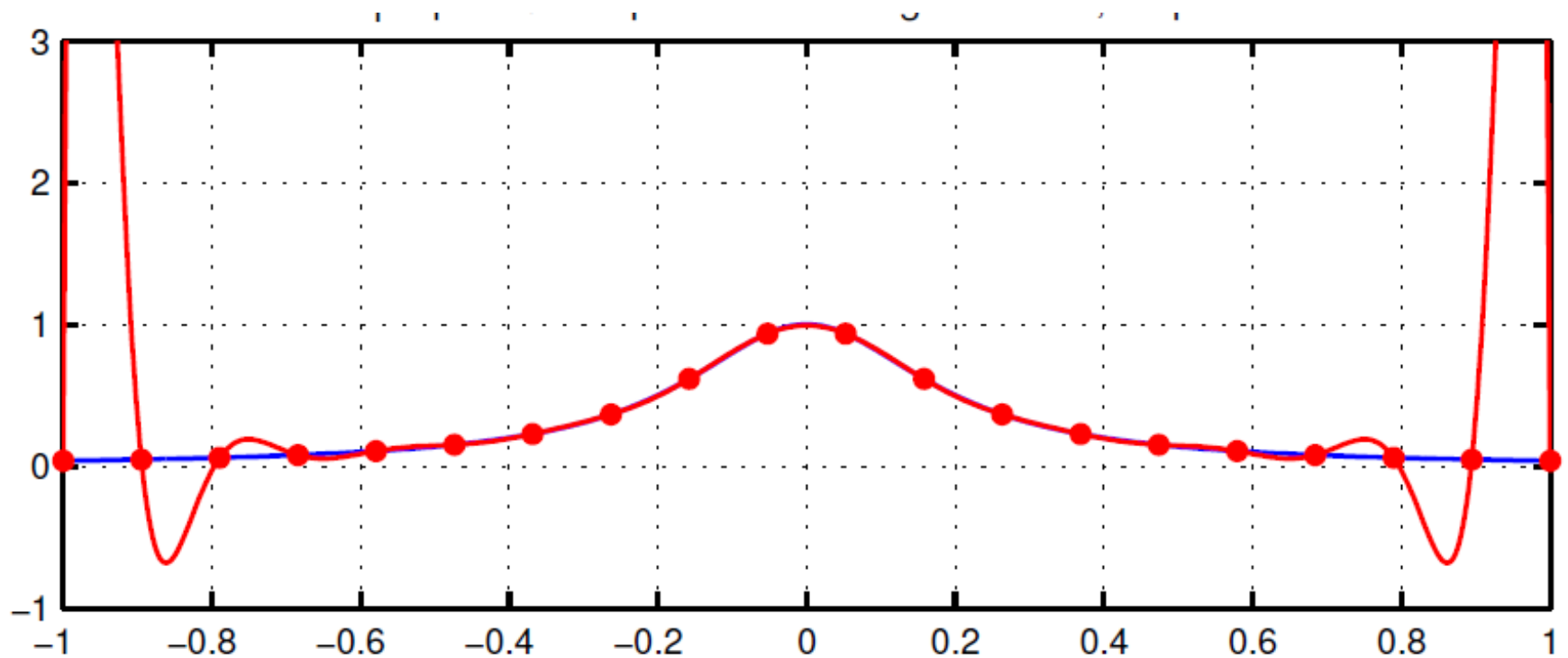
- 插值问题的解存在且唯一

Vandermonde行列式

病态矩阵, 不适于直接求解

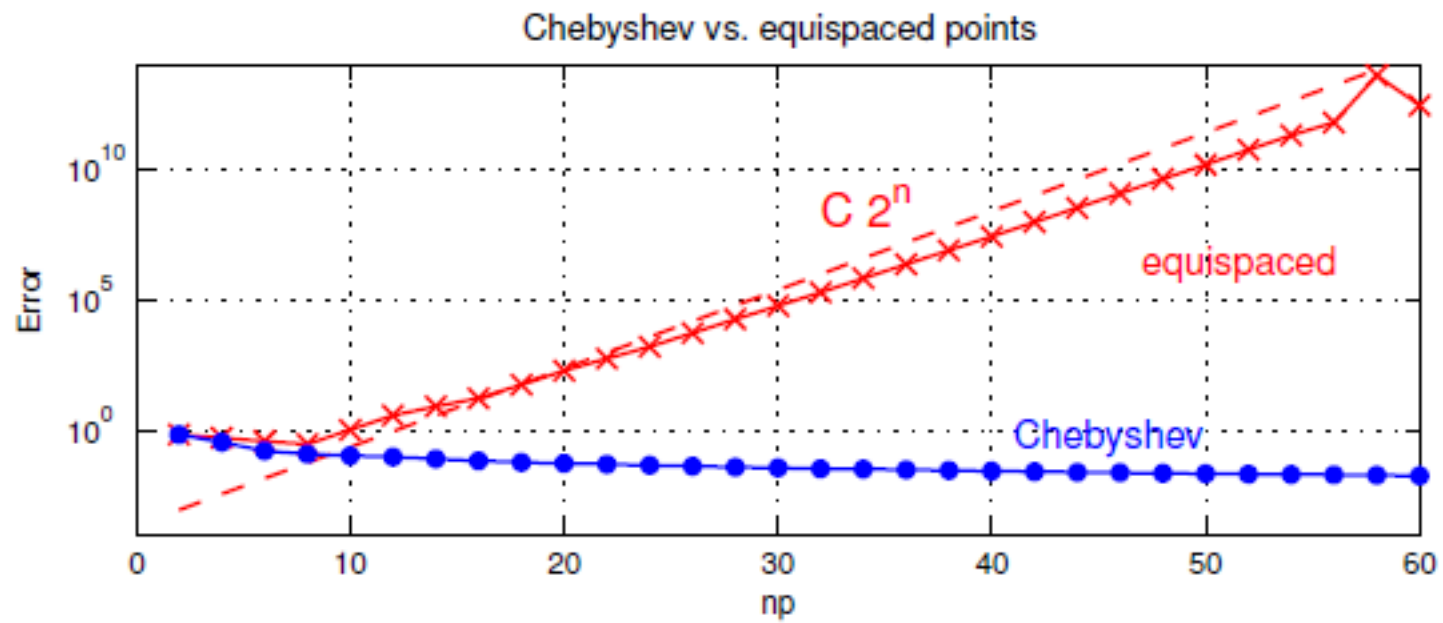
任意一个闭区间上的连续函数可以用一个多项式任意精度逼近

Runge现象

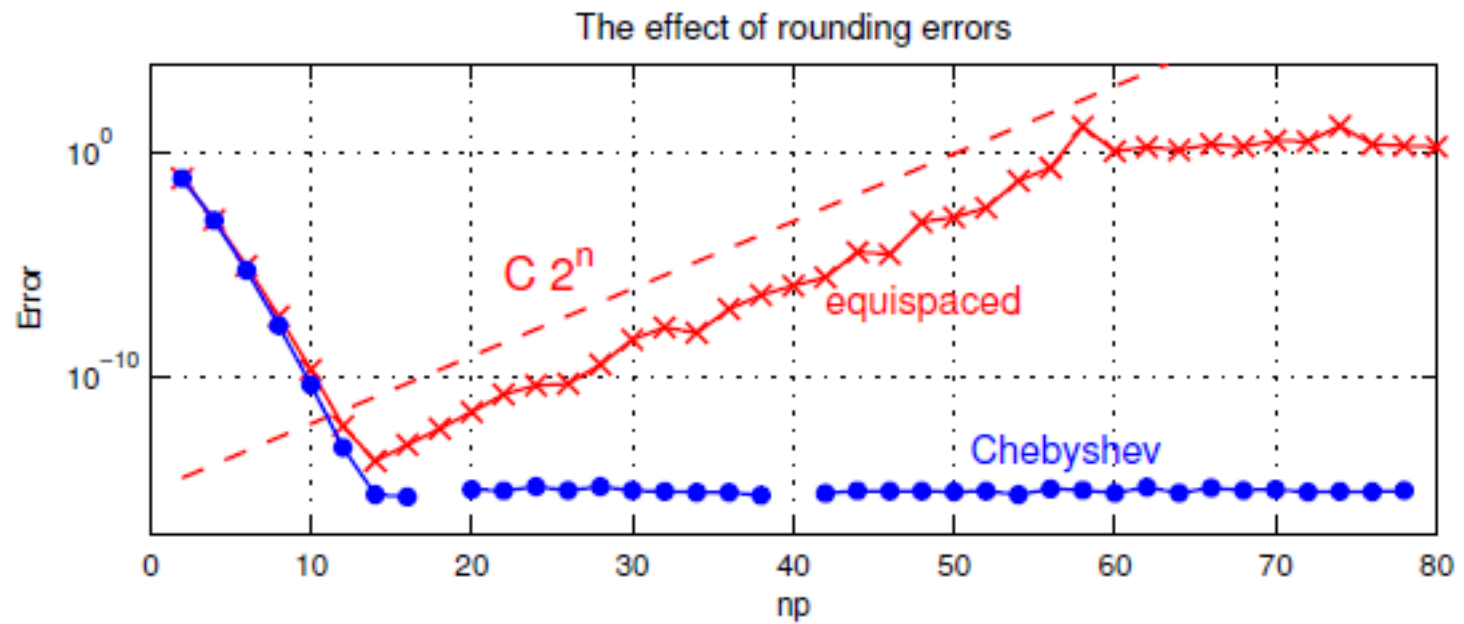


SUMMARY OF CHAPTER 13. *Polynomial interpolation in equispaced points is exponentially ill-conditioned: the interpolant p_n may have oscillations near the edge of the interval nearly 2^n times larger than the function f being interpolated, even if f is analytic. In particular, even if f is analytic and the interpolant is computed exactly without rounding errors, p_n need not converge to f as $n \rightarrow \infty$.*

$$1 - 2|x|$$

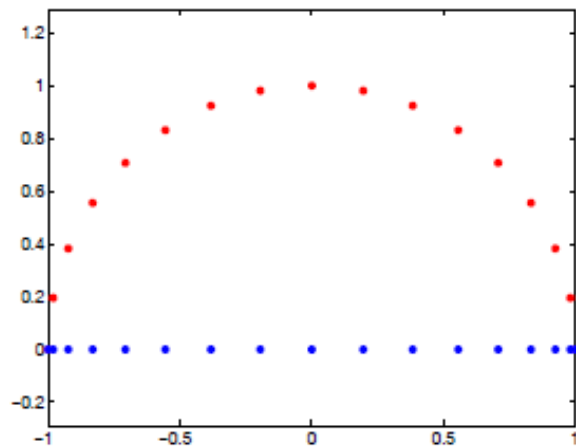


$$e^x$$

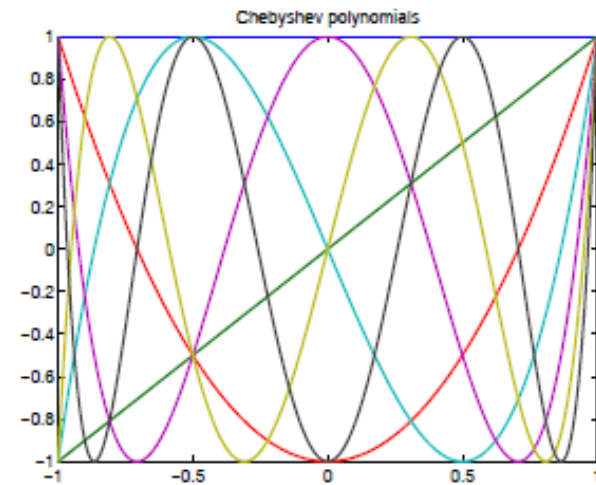


切比雪夫插值

Chebyshev points $x_j = \cos(j\pi/n)$, $j = 0, \dots, n$ can be considered as projections of the equally-spaced points on the unit circle on the real line.



Chebyshev polynomials are defined by $T_k(x) = \cos(k \cos^{-1} x)$ whose local extrema are the Chebyshev points.



Theorem 1: If $f(x)$ is Lipschitz continuous on $[-1, 1]$ then there exists a unique $\{a_k\}_{k=0}^{\infty}$ such that

$$f(x) = \sum_{k=0}^{\infty} a_k T_k(x), \quad a_k = \frac{2}{\pi} \int_{-1}^1 \frac{f(x) T_k(x)}{\sqrt{1-x^2}} dx.$$

Truncation: $f_n(x) = \sum_{k=0}^n a_k T_k(x)$

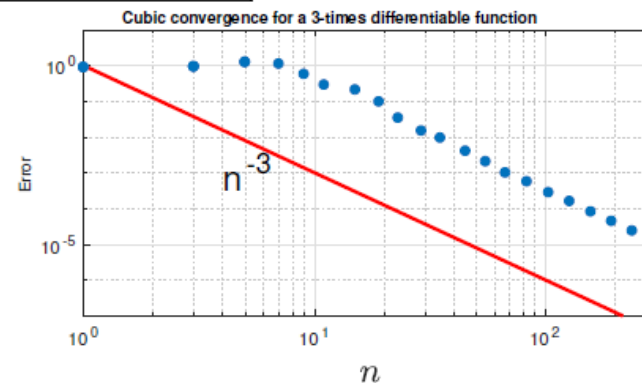
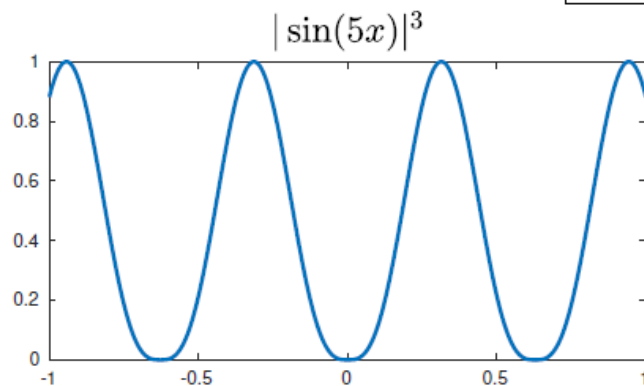
Interpolation: $p_n(x) = \sum_{k=0}^n c_k T_k(x)$

Theorem 2 (differentiable functions): For an integer $m \geq 0$, let f and its derivatives through $f^{(m-1)}$ be absolutely continuous on $[-1, 1]$ and suppose the m -th derivative $f^{(m)}$ is of bounded variation V . Then for $k \geq m + 1$, the Chebyshev coefficients of f satisfy

$$|c_k| \leq \frac{2V}{\pi(k-m)^{m+1}}.$$

and the Chebyshev interpolants satisfy

$$\|f - p_n\| \leq \frac{4V}{\pi m(n-m)^m}.$$

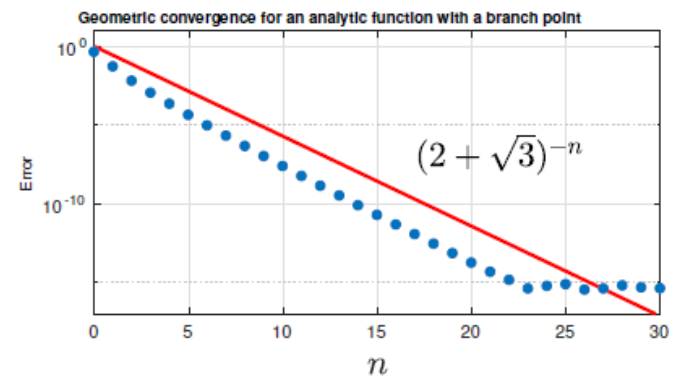
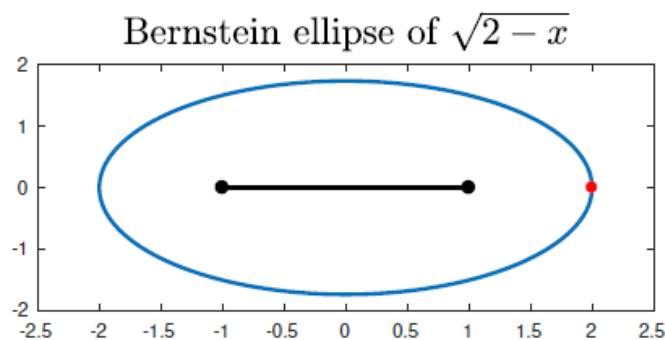


Theorem 3 (holomorphic functions): Let a function f analytic in $[-1, 1]$ be analytically continuable to and bounded by M in an open Bernstein ellipse E_ρ . The Bernstein ellipse E_ρ is an ellipse with foci at ± 1 and the length of its semimajor axis plus the length of its semiminor axis is ρ . The Chebyshev coefficients of f satisfy $|c_0| \leq M$ and

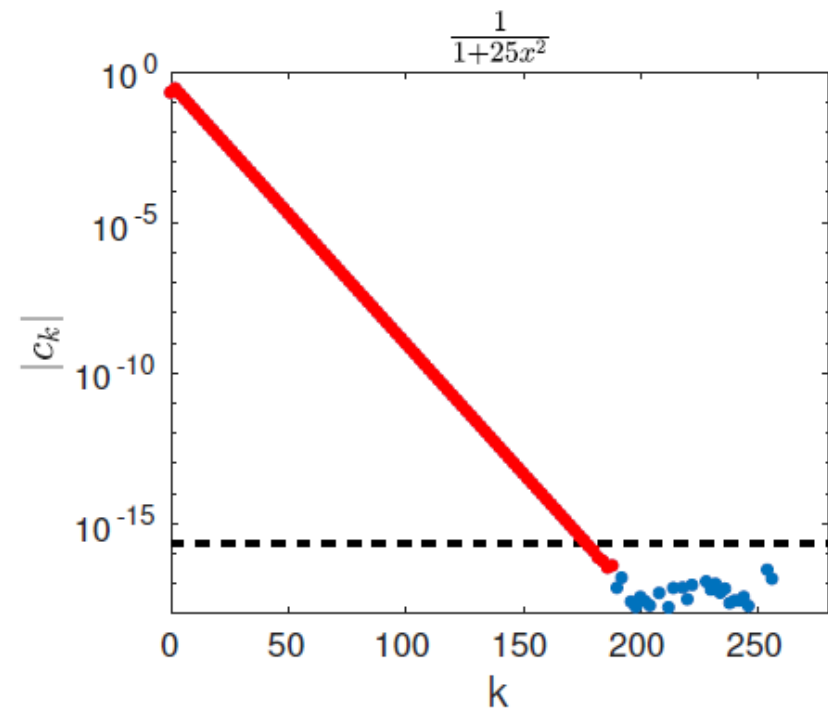
$$|c_k| \leq 2M\rho^{-k}, \quad k \geq 1.$$

and its Chebyshev interpolant p_n satisfies

$$\|f - p_n\|_\infty \leq \frac{4M\rho^{-n}}{\rho - 1}.$$



- Sampling a given function on a Chebyshev grid.
- The Chebyshev coefficients of the corresponding interpolant are computed via the FFT.
- If the coefficients have a 'tail' below machine precision, the chebfun is 'happy'.
- If not, the function is sampled again on twice as many points, and we repeat the steps above until the function is fully resolved.



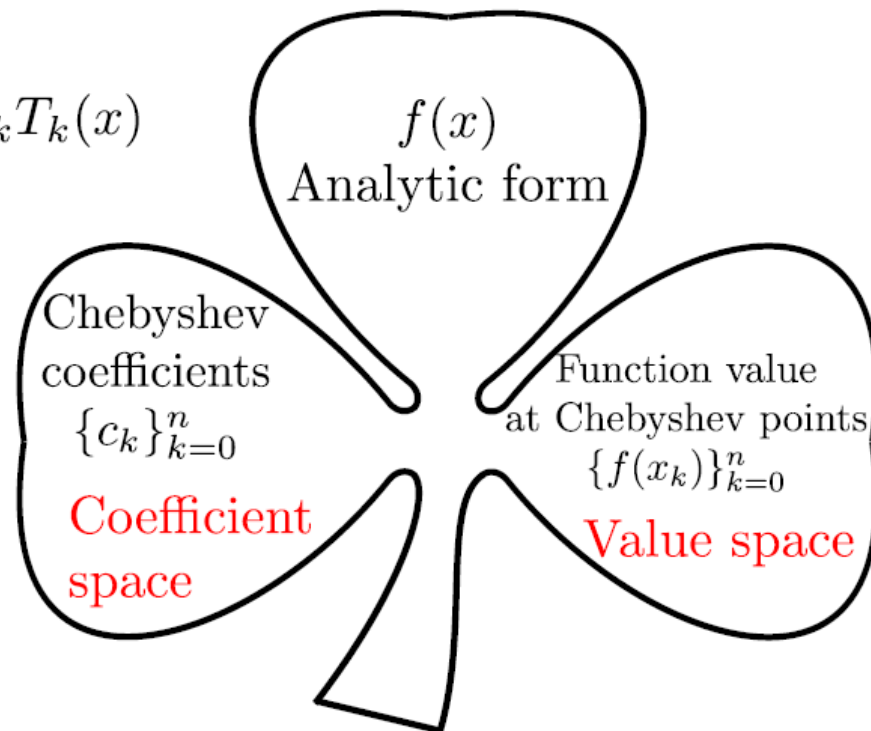
Approximations

Why Chebyshev series? Shamrock principle



Shamrock/Trinity principle 三位一体

$$f(x) = \sum_{k=0}^n c_k T_k(x)$$



Chebfunc: <http://www.chebfun.org/>

Binary operations: $f(x) \simeq \sum_{m=0}^M a_m T_m(x), \quad g(x) \simeq \sum_{n=0}^N b_n T_n(x) : \quad h(x) = f(x) \circ g(x) \simeq \sum c_k T_k(x)?$

$$\boxed{+/-}$$

$$c_k = a_k \pm b_k$$

$$\boxed{\times/\div}$$

$$\begin{pmatrix} c_0 \\ c_1 \\ c_2 \\ c_3 \\ \vdots \end{pmatrix} = \frac{1}{2} \left[\begin{pmatrix} 2a_0 & a_1 & a_2 & a_3 & \cdots \\ a_1 & 2a_0 & a_1 & a_2 & \cdots \\ a_2 & a_1 & 2a_0 & a_1 & \cdots \\ a_3 & a_2 & a_1 & 2a_0 & \cdots \\ \vdots & \ddots & \ddots & \ddots & \ddots \end{pmatrix} + \begin{pmatrix} 0 & 0 & 0 & 0 & \cdots \\ a_1 & a_2 & a_3 & a_4 & \ddots \\ a_2 & a_3 & a_4 & a_5 & \ddots \\ a_3 & a_4 & a_5 & a_6 & \ddots \\ \vdots & \ddots & \ddots & \ddots & \ddots \end{pmatrix} \right] \begin{pmatrix} b_0 \\ b_1 \\ b_2 \\ \vdots \\ b_N \end{pmatrix}$$

Unary operations:

$$f(x) \simeq \sum_{m=0}^M a_m T_m(x) : \quad h(x) = \circ f(x) \simeq \sum c_k T_k(x)?$$

$$\boxed{\frac{d}{dx} / \int}$$

$$c_k = \frac{a_{k-1} - a_{k+1}}{2k}$$

$$\boxed{\int_a^b}$$

Clenshaw-Curtis quadrature:

$$I = \sum_{\substack{m=0 \\ m \text{ even}}}^M \frac{2a_m}{1-m^2}$$

Also, function evaluation, extrema, zero-hunting, norm, power, quadrature, convolution, and much more! But there are still left-behinds, e.g. composition, etc.

Chebyshev 多项式

$$T_n(\cos \theta) = \cos n\theta, \theta \in [0, \pi].$$

$$T_0(x) = 1,$$

$$T_1(x) = x,$$

$$T_2(x) = 2x^2 - 1,$$

$$T_3(x) = 4x^3 - 3x,$$

$$T_4(x) = 8x^4 - 8x^2 + 1,$$

令 \mathcal{P}_n 表示次数小于等于 n 的实系数多项式全体. 则 \mathcal{P}_n 是 \mathbb{R} 上的线性空间, 并且 $\{T_j\}_{j=0}^n$ 构成该空间的基底. 特别地, 对任意的 $P \in \mathcal{P}_n$, 可唯一的表示为

$$P(x) = \sum_{j=0}^n a_j T_j(x).$$

令 $x_k = \cos(k\frac{\pi}{n})$, $k = 0, \dots, n$, 为插值节点, 则对 $0 \leq k \leq n$

$$\begin{aligned} y_k = P(x_k) &= \sum_{j=0}^n a_j T_j(x_k) \\ &= \sum_{j=0}^n a_j \cos(jk\frac{\pi}{n}). \end{aligned}$$

将上式改写

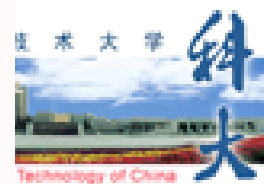
$$\begin{aligned} y_k &= \frac{1}{2} \sum_{j=0}^n a_j w^{jk} + \frac{1}{2} \sum_{j=-n}^0 a_{-j} w^{jk} \\ &= \sum_{j=-n}^n c_j w^{jk}, \end{aligned}$$

其中 $w = e^{i\pi/n}$,

$$c_j = \begin{cases} \frac{1}{2}a_j, & 0 < j \leq n, \\ a_0, & j = 0, \\ \frac{1}{2}a_{-j}, & -n \leq j < 0. \end{cases}$$

将 $y = (y_k)$ 延拓成 $2n$ 周期的偶序列, 则有

$$y_k = \sum_{j=-n}^n c_j w^{jk}, \quad 0 \leq j \leq 2n - 1.$$



对任意的 $0 \leq p \leq n$,

$$\begin{aligned} r_p &= \sum_{k=0}^{2n-1} y_k \bar{w}^{pk} = \sum_{k=0}^{2n-1} \sum_{j=-n}^n c_j w^{(j-p)k} \\ &= \sum_{j=-n}^n c_j \left(\sum_{k=0}^{2n-1} w^{(j-p)k} \right). \end{aligned}$$

经计算可得

$$r_p = 2nc_p, \quad p = 0, \dots, n-1,$$

$$r_n = 2n(c_n + c_{-n}) = 4nc_n.$$

因此

$$a_j = \frac{1}{n\epsilon_j} \sum_{k=0}^{2n-1} y_k \bar{w}^{jk}, \quad j = 0, 1, \dots, n$$

其中

$$\epsilon_0 = \epsilon_n = 2; \epsilon_1 = \dots = \epsilon_{n-1} = 1.$$

算法

- 计算 $y_{2n-k} = y_k, k = 1, \dots, n-1$.
- 利用 FFT 计算

$$(y_0, \dots, y_{2n-1}) \mapsto (Y_0, \dots, Y_{2n-1}).$$

- 计算 $a_n = \frac{1}{n}Y_n, n = 1, 2, \dots, n-1; a_0 = \frac{1}{2n}Y_0; a_n = \frac{1}{2n}Y_n$.